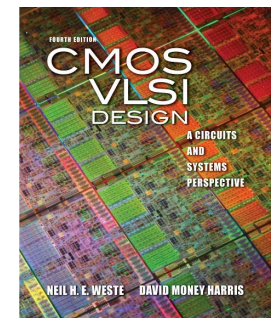
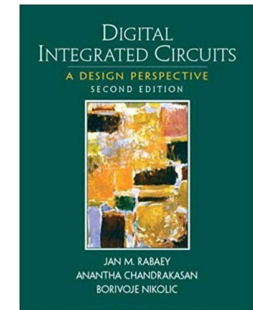


Microeletrônica

Aula #7 → Circuitos sequenciais estáticos

- Professor: Fernando Gehm Moraes
- Livro texto:
 - Digital Integrated Circuits a Design Perspective - Rabaey
 - C MOS VLSI Design - Weste

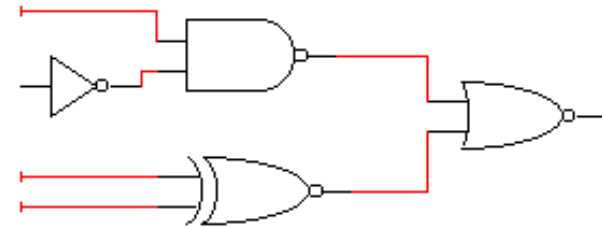


Revisão das lâminas: 09/maio/2025

Lógica Sequencial

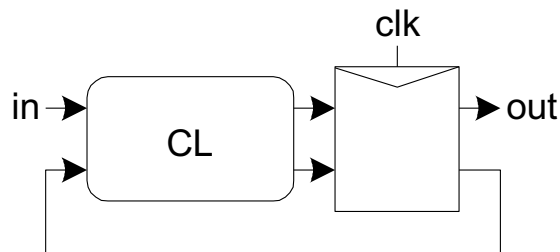
Lógica Combinacional

- Os sinais de saída são resultados de uma combinação lógica dos
- sinais de entrada atuais

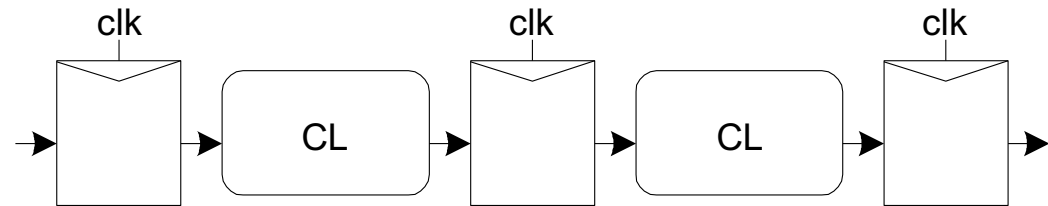


Lógica Sequencial

- Os sinais de saída são resultados não apenas dos sinais de entrada atuais, mas também de sinais anteriores
- Flip Flops são elementos de memória que registram o estado do circuito

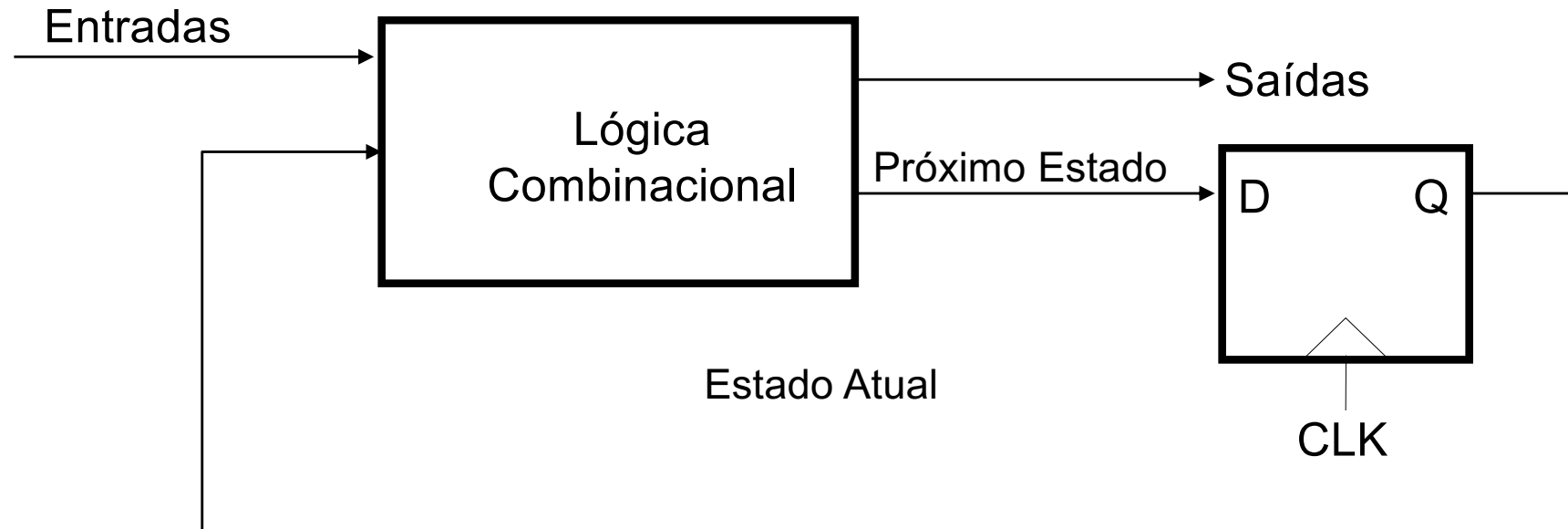


Finite State Machine



Pipeline

Lógica Sequencial



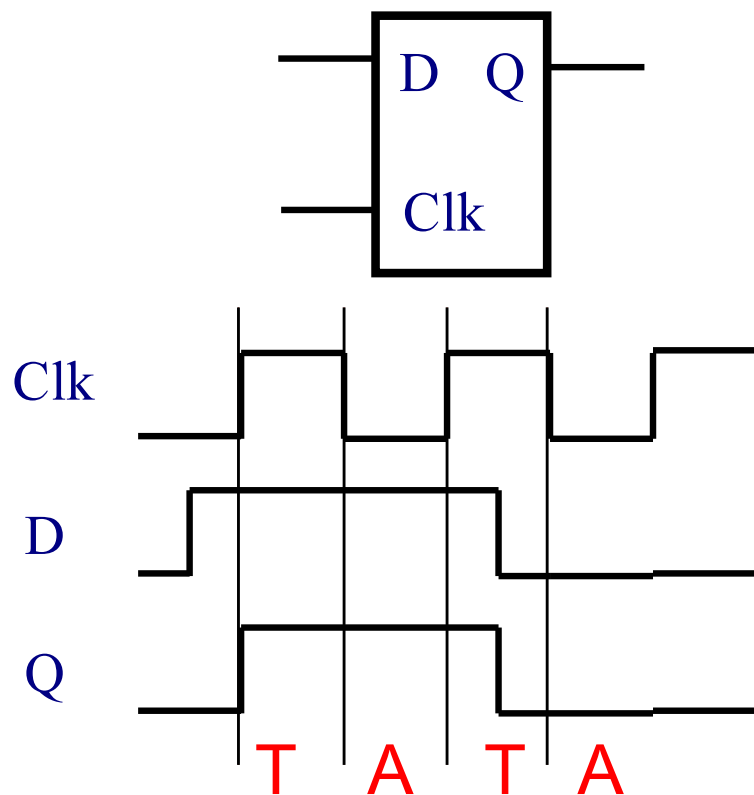
2 mecanismos de armazenamento

- positive feedback
- charge-based

Latch versus Registrador

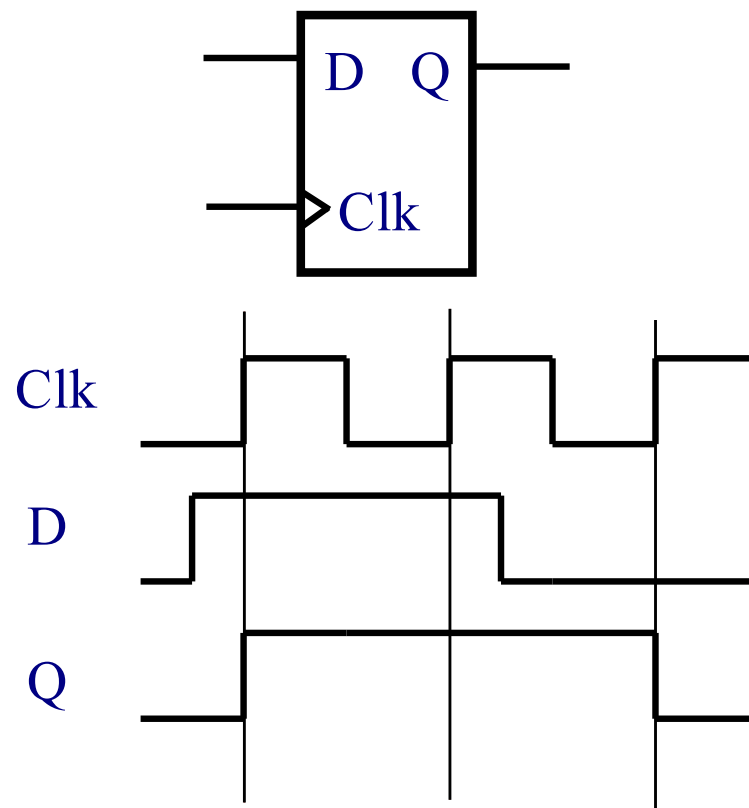
□ Latch

transparente em um nível do clk e depois mantém o dado



□ Registrador (Mestre-Escravo)

armazenamento no momento de uma **borda**



T → transparente A → armazena

Latches

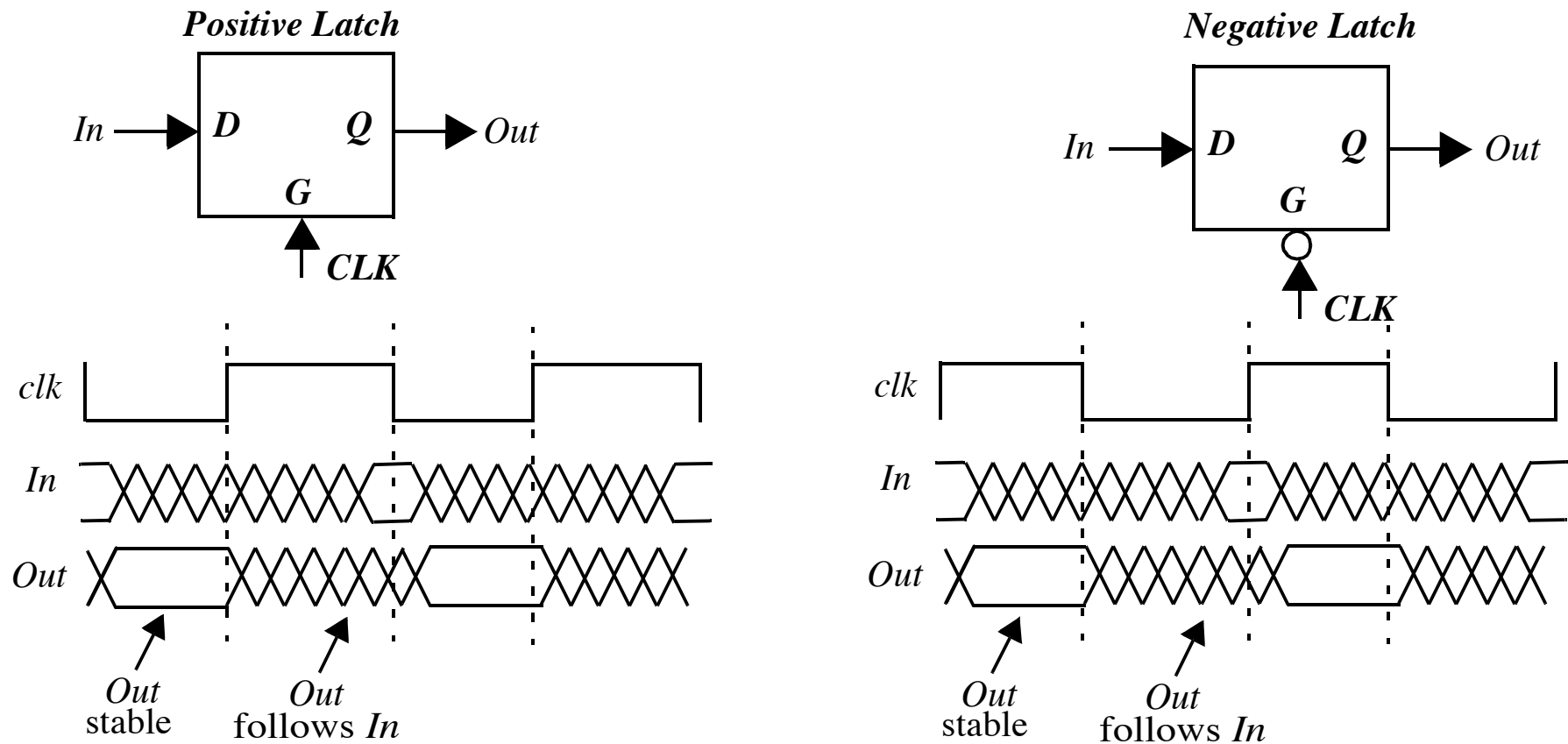


Figure 7.3 Timing of positive and negative latches.

Latches

- Memórias **estáticas** utilizam realimentação positiva para criar um circuito bistável (**bistable**) — um circuito com dois estados estáveis que representam 0 e 1
- Apenas os pontos A e B são estáveis para operação, enquanto o ponto C é um ponto de operação metaestável
- Característica que assegura que o circuito alterne de forma estável entre os estados que representam 0 e 1
- O ponto metaestável C é um estado não desejável, mas sua ocorrência é minimizada quando o ganho do inversor é adequadamente alto na região transitória

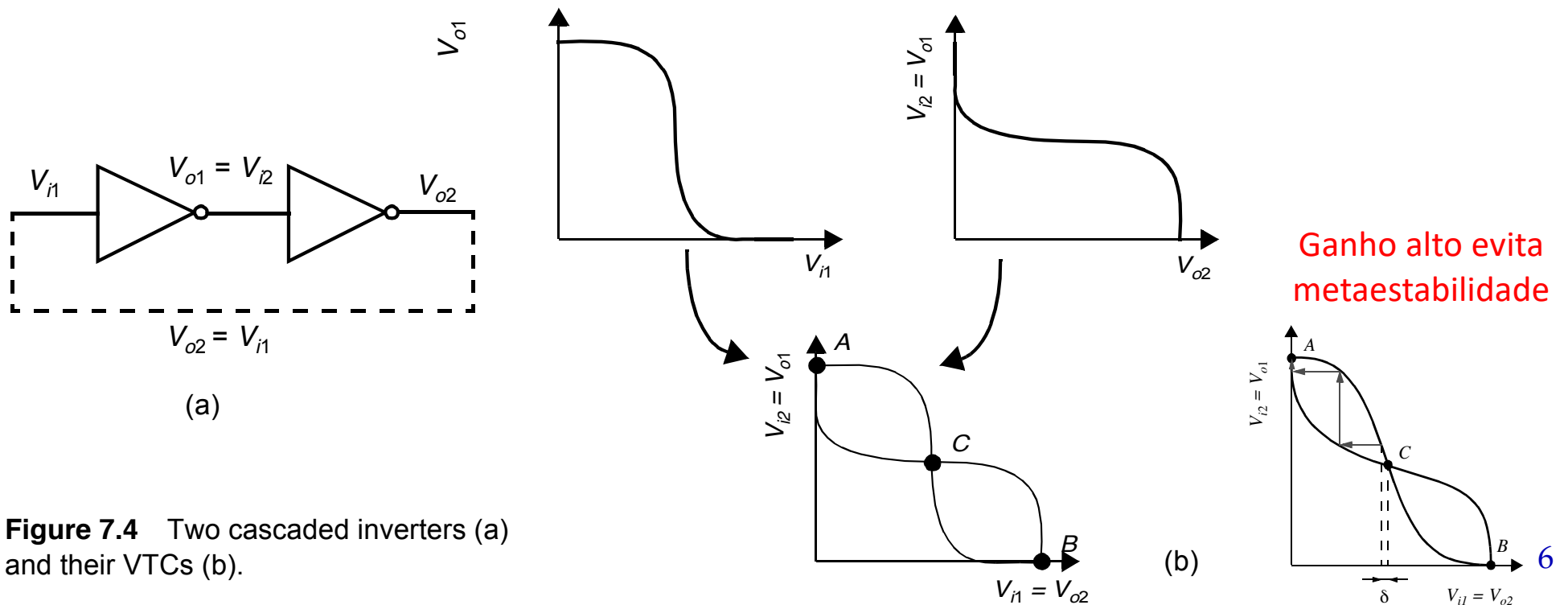
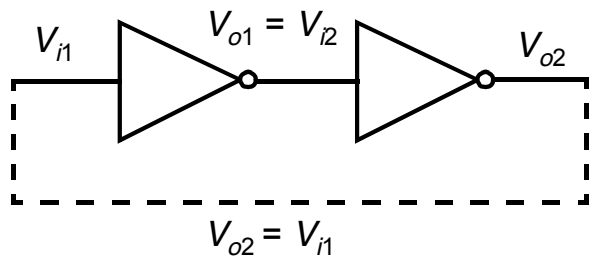
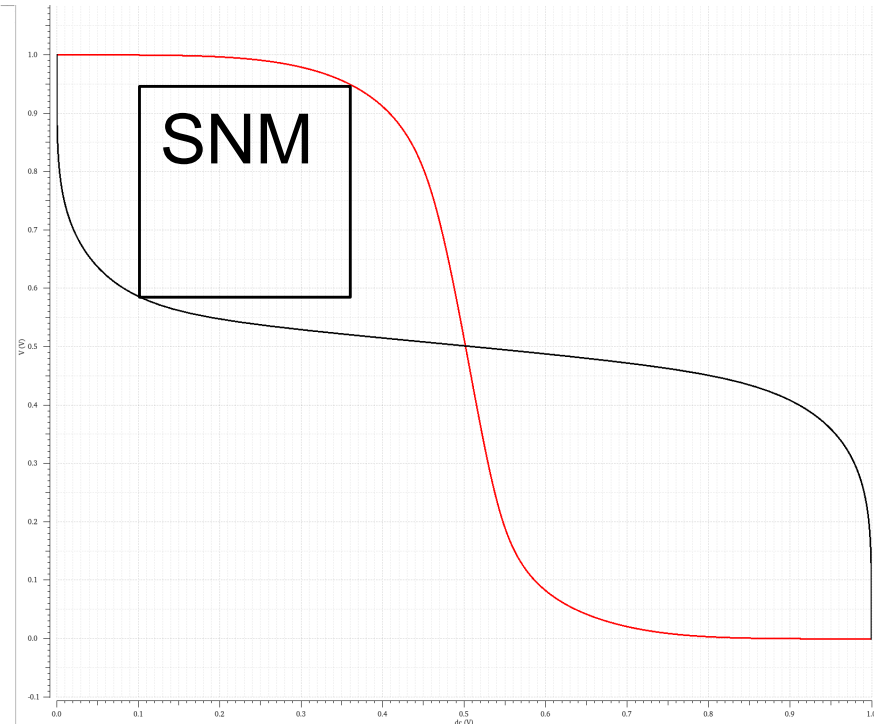
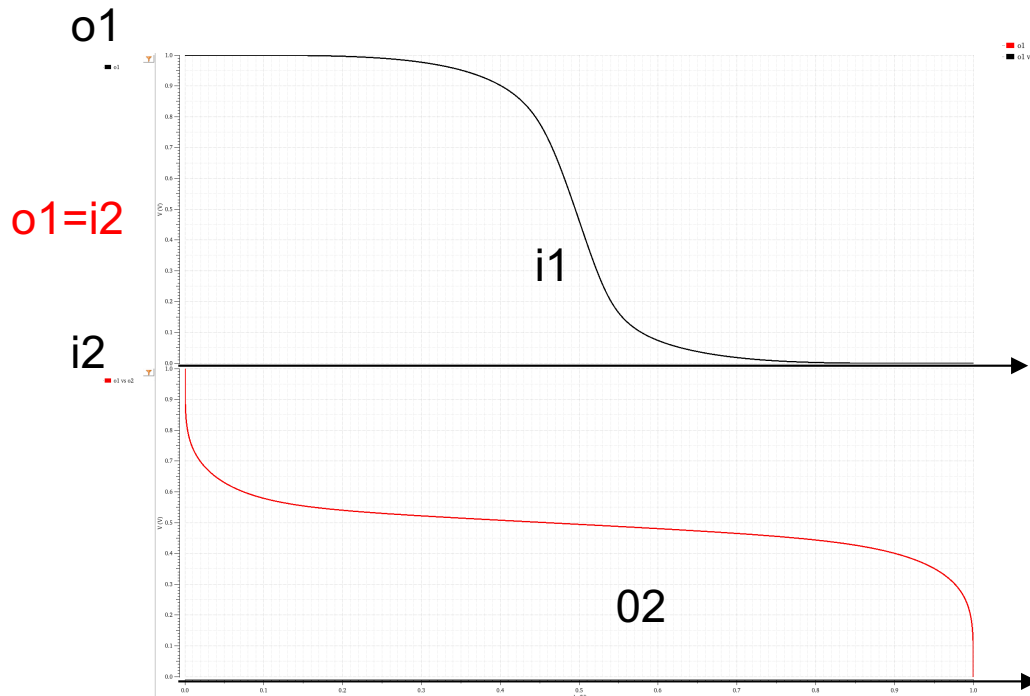


Figure 7.4 Two cascaded inverters (a) and their VTCs (b).

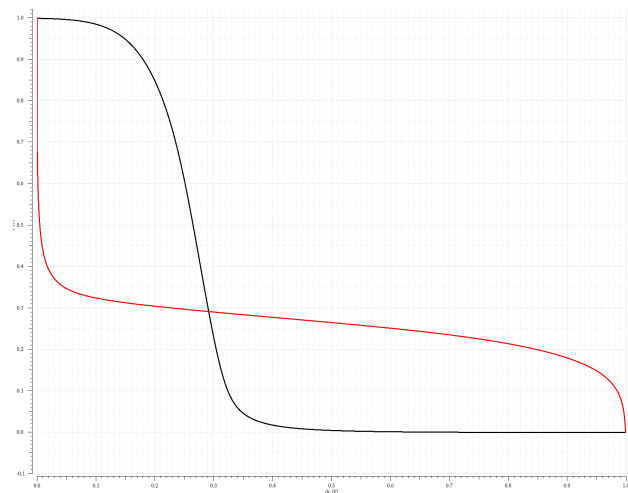


O SNM (static noise margin) é definido como a quantidade máxima de tensão de ruído que pode ser introduzida nas entradas dos inversores de forma que a célula retenha seus dados.

O SNM é definido como o comprimento do lado do maior quadrado que pode ser inserido dentro dos lóbulos do curva de borboleta.



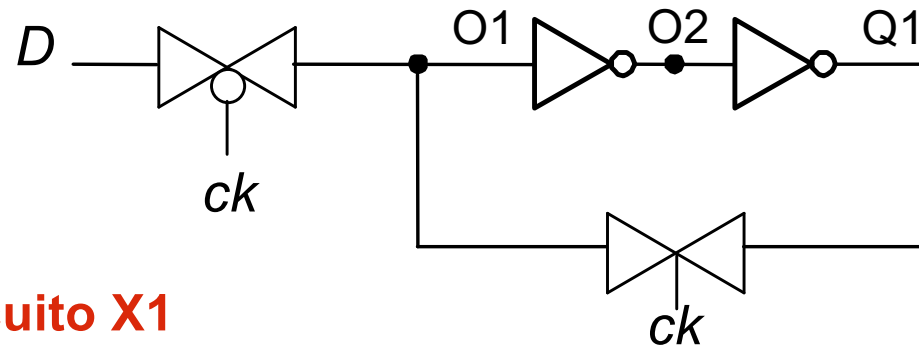
Transição na meia excursão de vcc
Melhor estabilidade da célula de memória



Transistores mal dimensionados

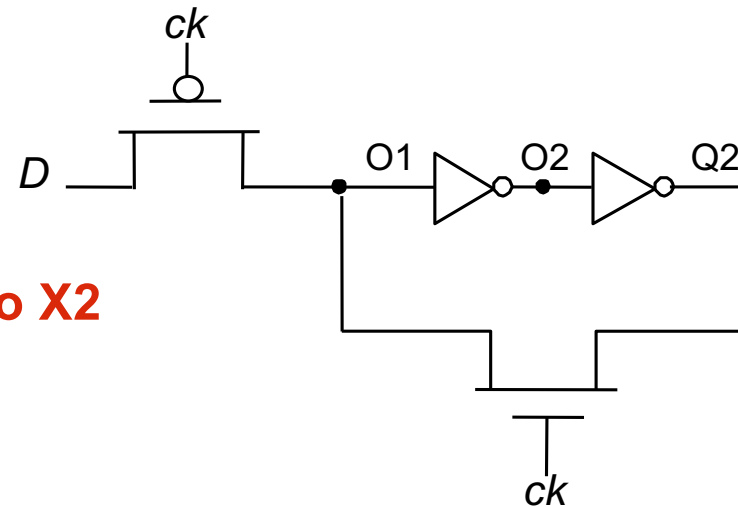
Latches - implementações

Com portas de transmissão



Circuito X1

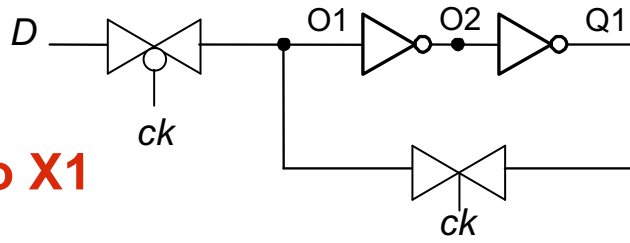
Com transistores (N e P)



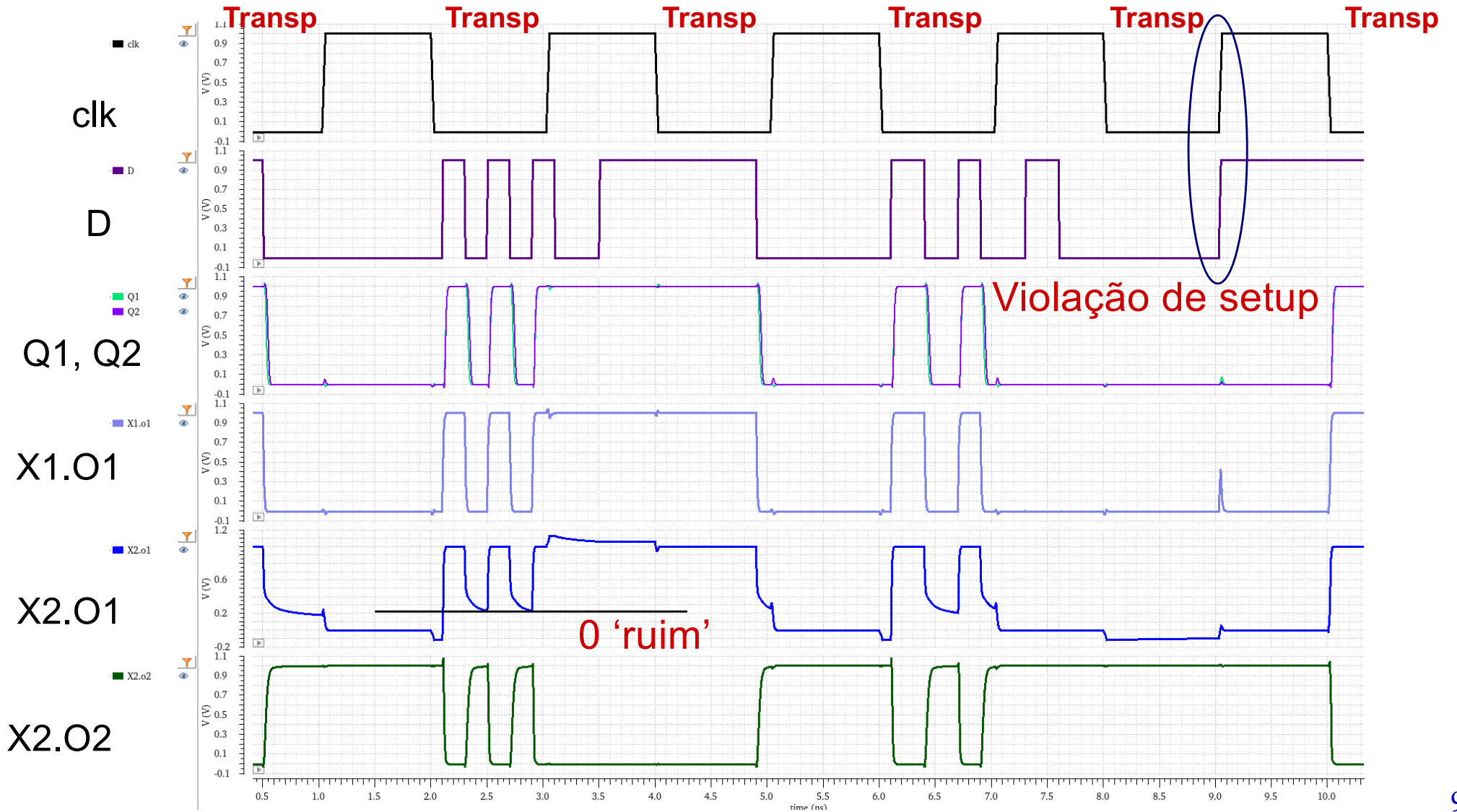
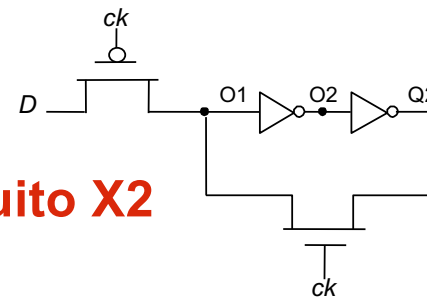
Circuito X2

Tempo de setup: duração necessária para que os dados de entrada devam estar estáveis antes da borda do *clock*. Se os dados mudarem dentro dessa janela de tempo de configuração, os dados de entrada podem ser perdidos e não armazenados na latch/MS.

Circuito X1

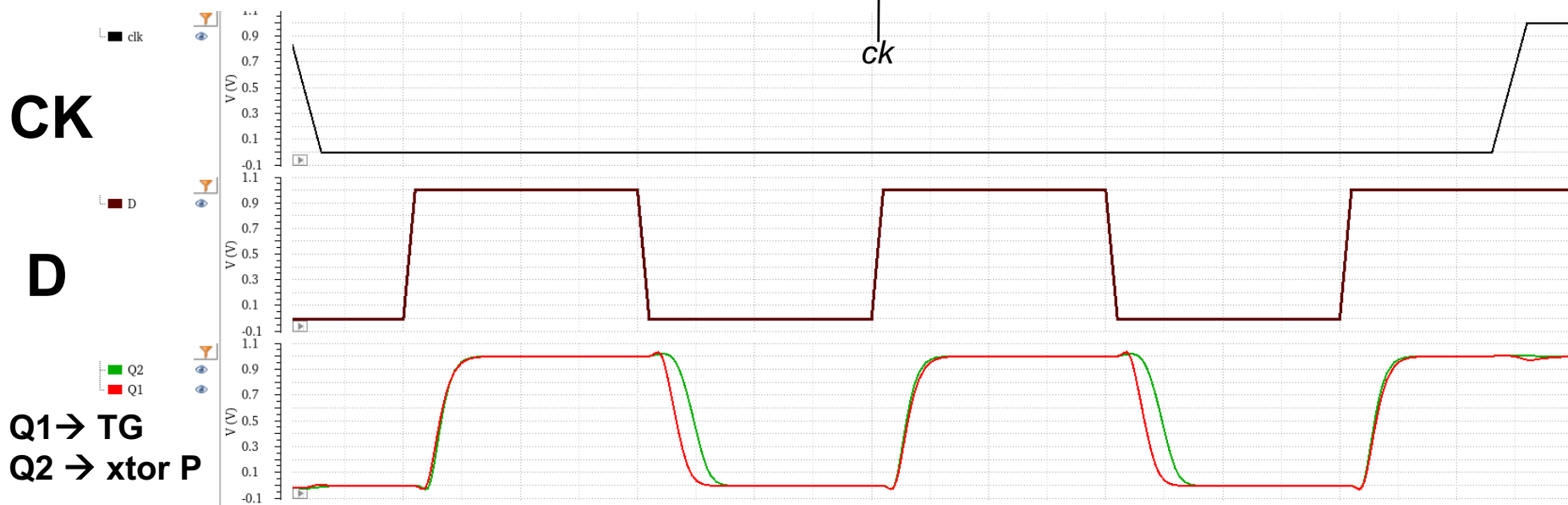
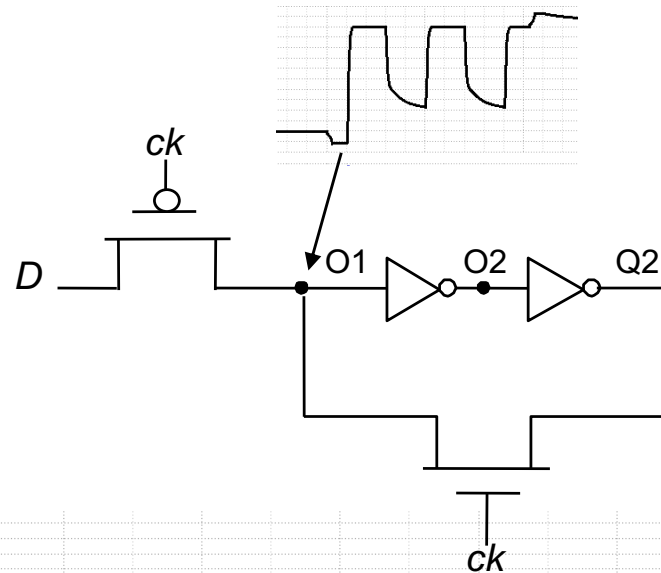


Circuito X2



Saída Q2: depende de um transistor P em modo transparente

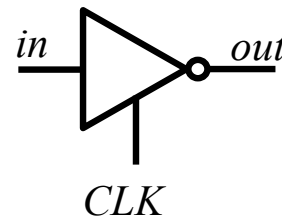
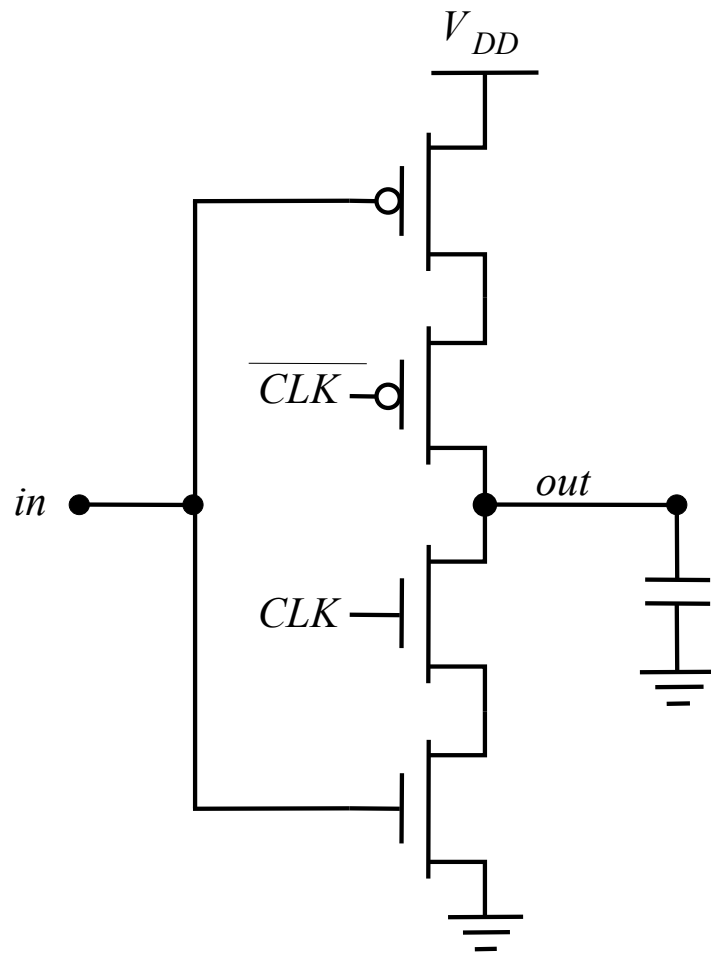
Mais lento no tempo de descida (0 ruim em 01, 02 lento para subir, Q2 desce mais lentamente)



Tri-state buffer

Integra o TG ao inversor

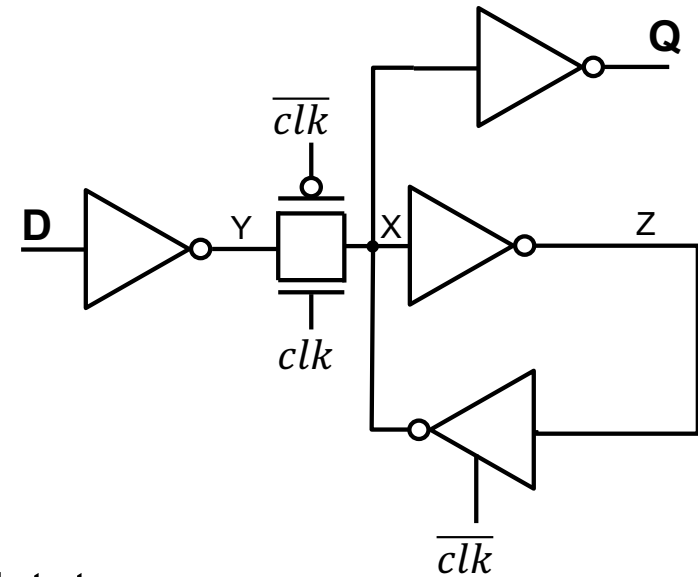
Reduz sensibilidade de propagação de ruído entre a saída e a entrada



Latches – com buffer tri-state

Amplamente utilizado em standard-cells

Robustez: saída Q é gerada usando um buffer separado, o que elimina problemas com *backdriving* (informação da saída propagada para a entrada)



A saída Q é mantida pelo loop que inclui o buffer tristate

☹ Os inversores de entrada e saída aumentam a área do circuito

Latches – com buffer tri-state

```
.subckt inv in out vcc
```

```
MP1 out in vcc vcc psvtgp w=wp l=0.06  
MM2 out in 0 0 nsvtgp w=wn l=0.06  
.ends inv
```

```
.subckt inv_tg in ck nck out vcc
```

```
MP1 1 in vcc vcc psvtgp w=wp l=0.06  
MP2 out nck 1 vcc psvtgp w=wp l=0.06  
MM1 out ck 2 0 nsvtgp w=wn l=0.06  
MM2 2 in 0 0 nsvtgp w=wn l=0.06  
.ends inv_tg
```

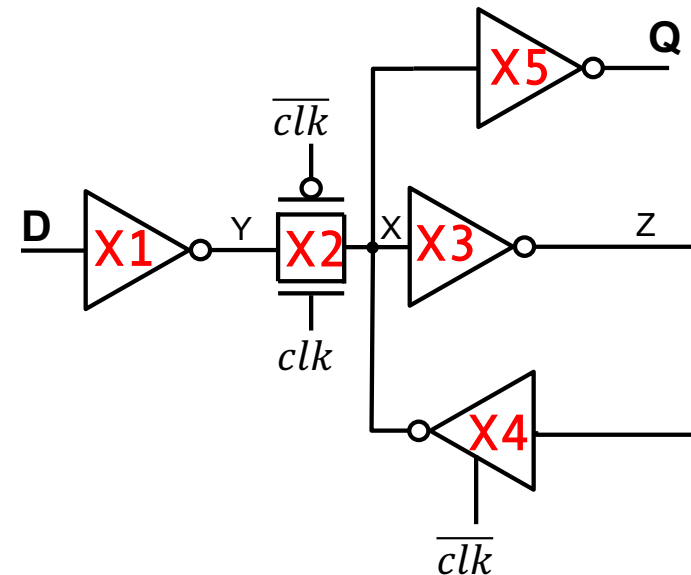
```
.subckt tg a b nb out vcc
```

```
MP1 a nb out vcc psvtgp w=wp l=0.06  
MN1 a b out 0 nsvtgp w=wn l=0.06  
.ends tg
```

```
.subckt latch D Q ck nck vcc
```

```
X1 D Y vcc inv  
X2 Y ck nck X vcc tg  
X3 X Z vcc inv  
X4 Z nck ck X vcc inv_tg  
X5 X Q vcc inv
```

```
.ends latch
```



Mux-based latches

- A realimentação não precisa ser sobrescrita para gravar na latch
- Maior velocidade, maior área

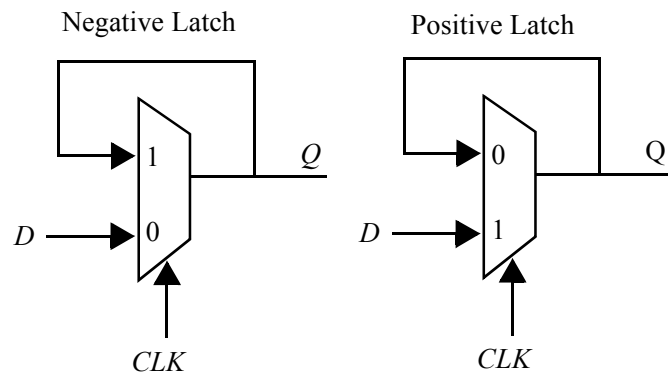


Figure 7.11 Negative and positive latches based on multiplexers.

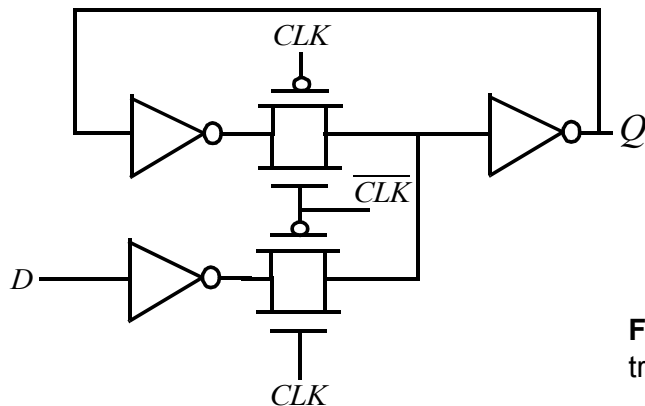
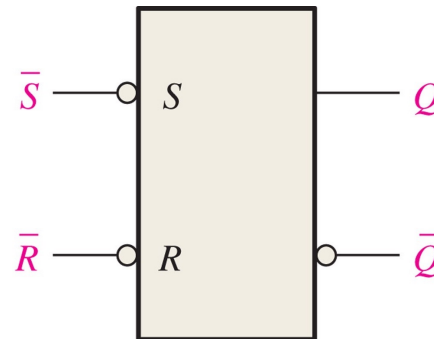
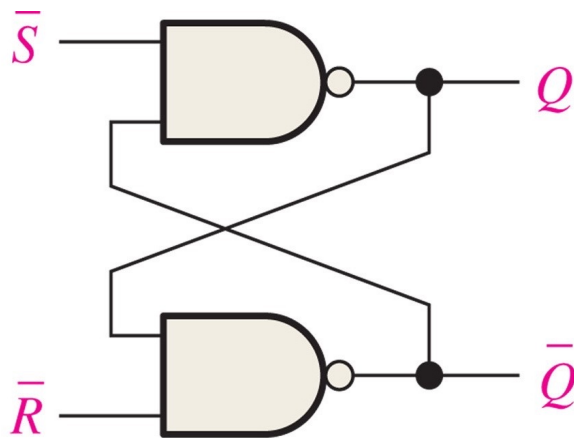
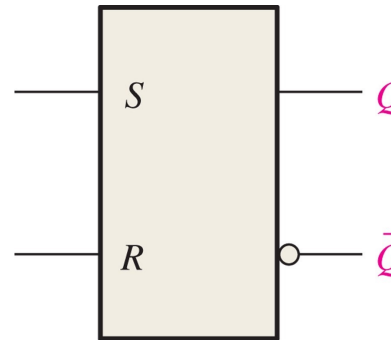
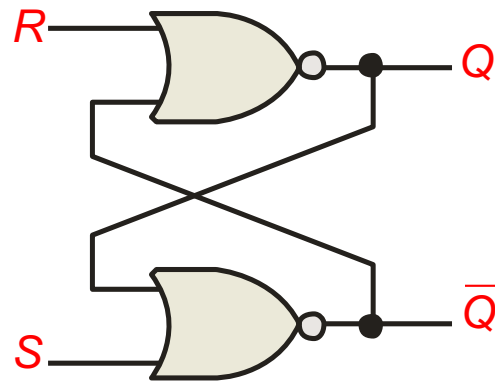


Figure 7.12 Positive latch built using transmission gates.

Elementos de Memória

SR - Flip Flop (latch)

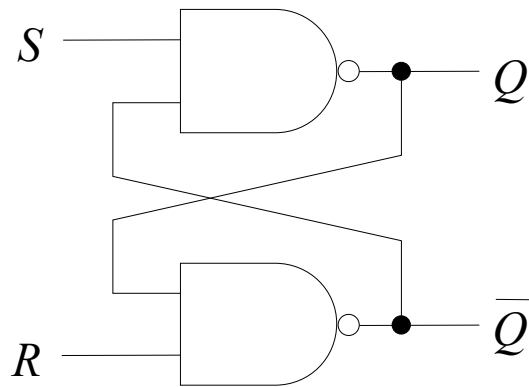


Inputs		Outputs	
\bar{S}	\bar{R}	Q	\bar{Q}
1	1	NC	NC
0	1	1	0
1	0	0	1
0	0	1	1

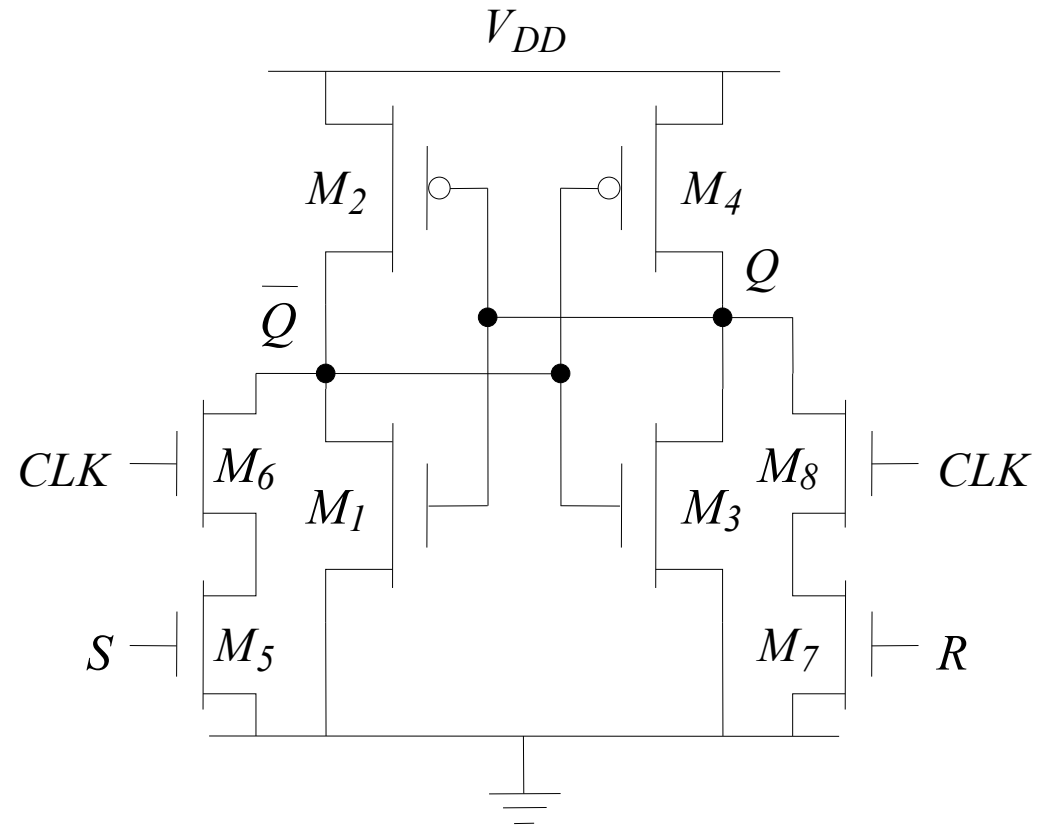
Diagrama Esquemático Símbolo Lógico

Cross-Coupled NAND

Cross-coupled NANDs



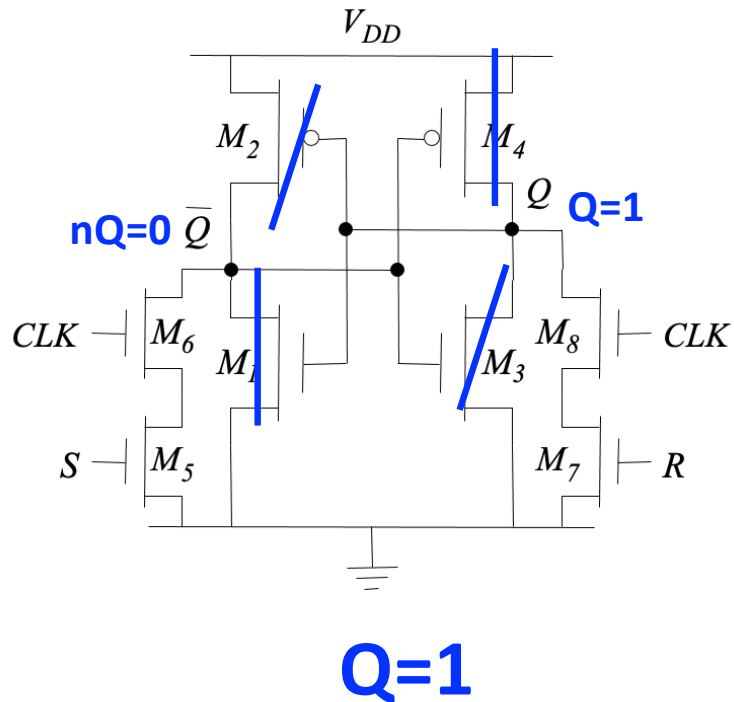
Added clock



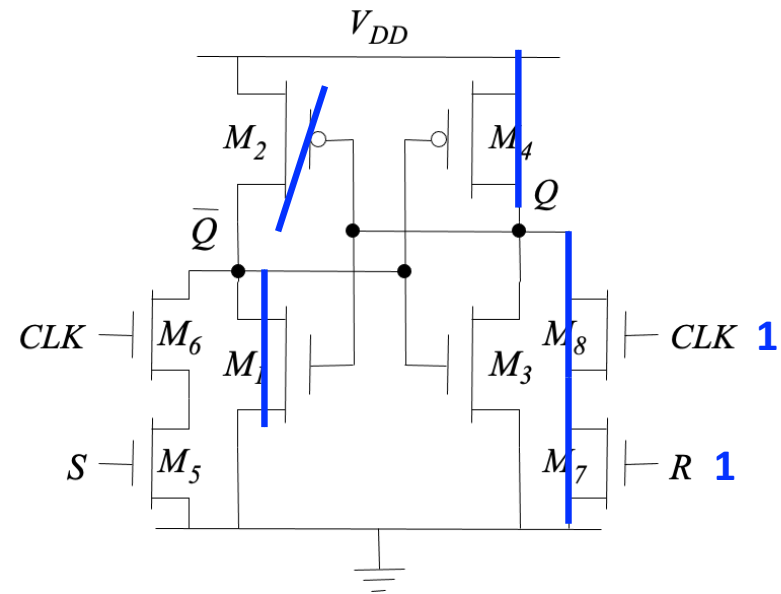
CLK=0 → não muda de estado

- M1-M2 inversor e M3-M4 inversor
- logo, 2 inversores realimentados

Cross-Coupled NAND

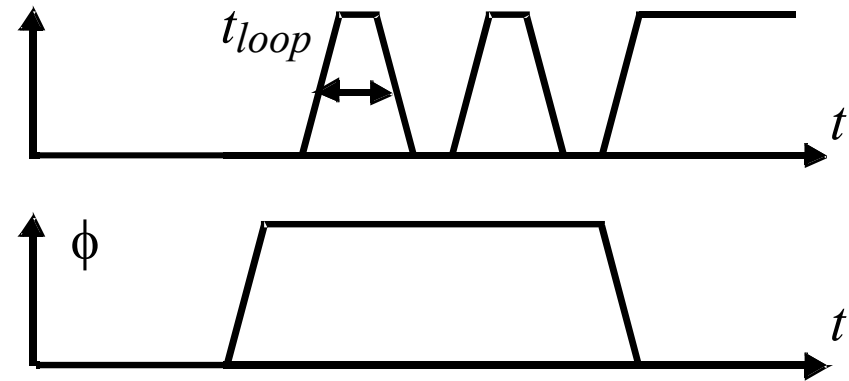
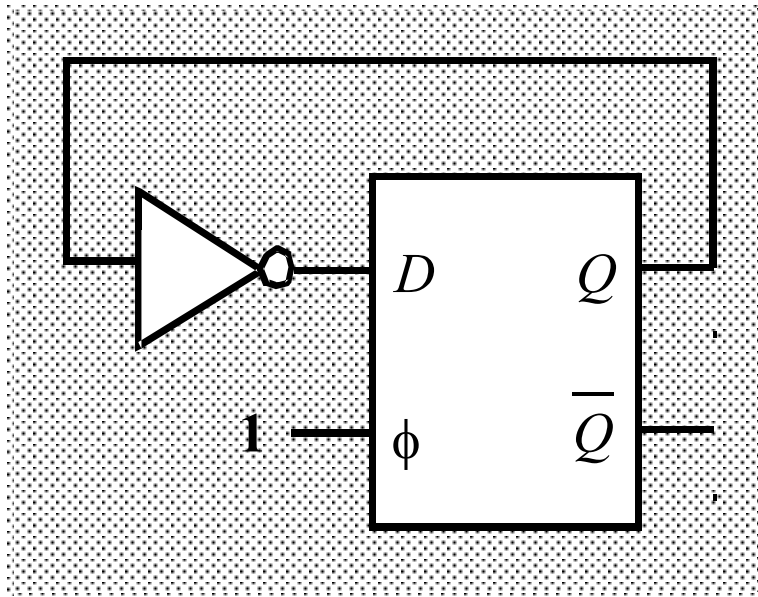


Considere o caso em que Q é **alto** e um pulso R é aplicado ($CLK=1$):



- M_4 , M_8 e $M_7 \rightarrow$ curto (*rationed inverter*)
- Para o circuito operar: maior ganho (W) em M_5 , M_6 , M_7 e M_8 .

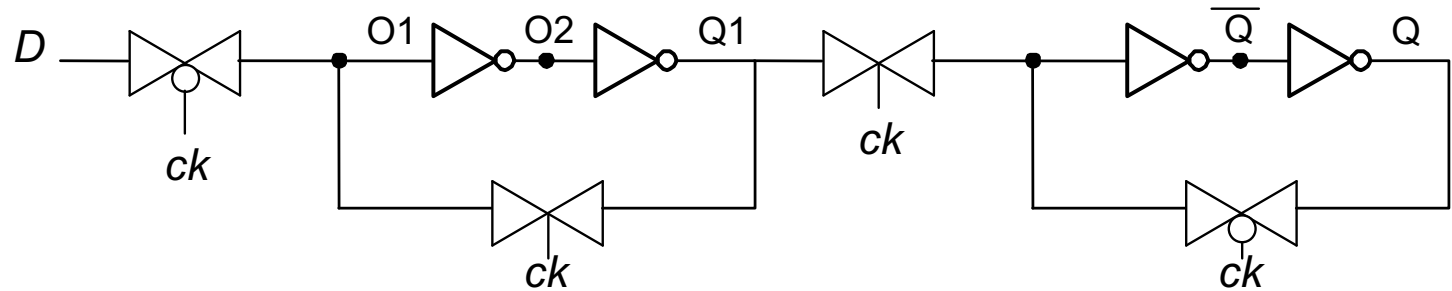
Latch tem problema de *race* (corrida)



- A natureza transparente da *latch* causa o problema de 'race'
- A *latch* é **transparente** quando $\phi = 1$
- Uma solução ao problema de *race* são os FF mestre-escravo

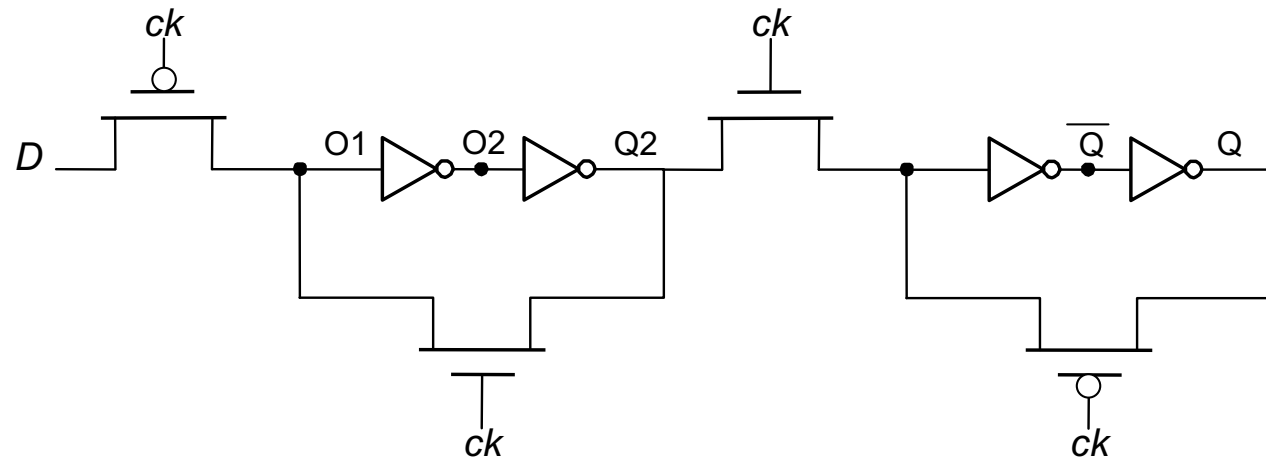
Flip Flop Mestre Escravo Estático

Com portas de transmissão



Circuito X1

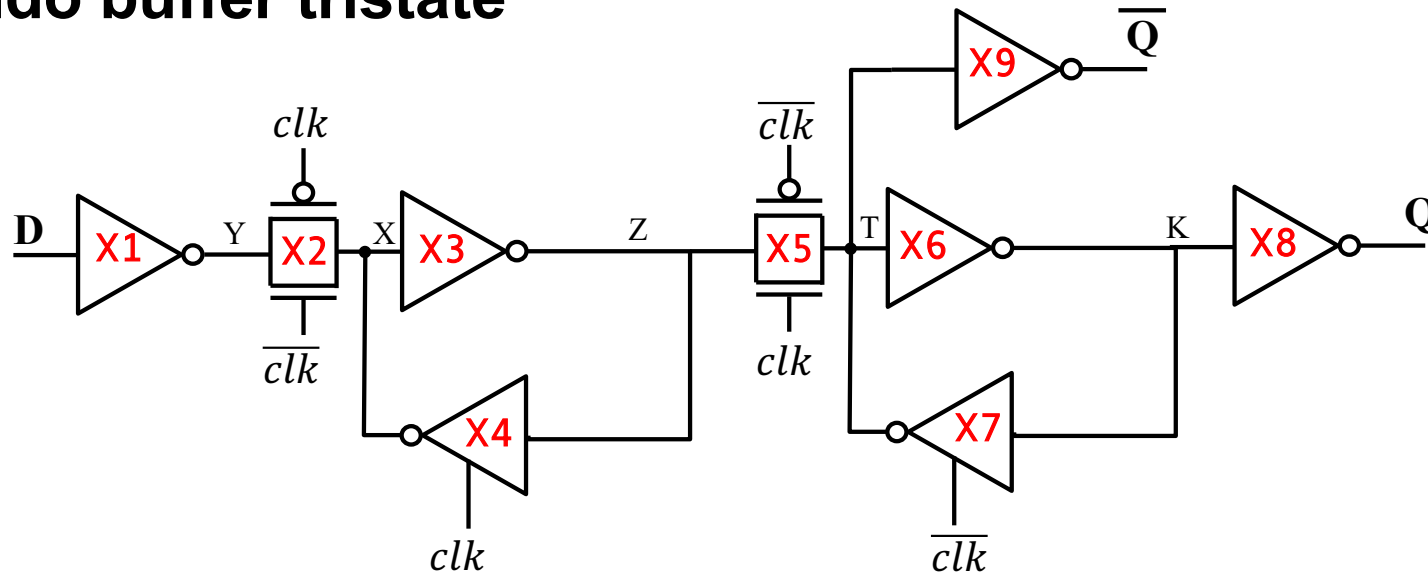
Sem portas de transmissão



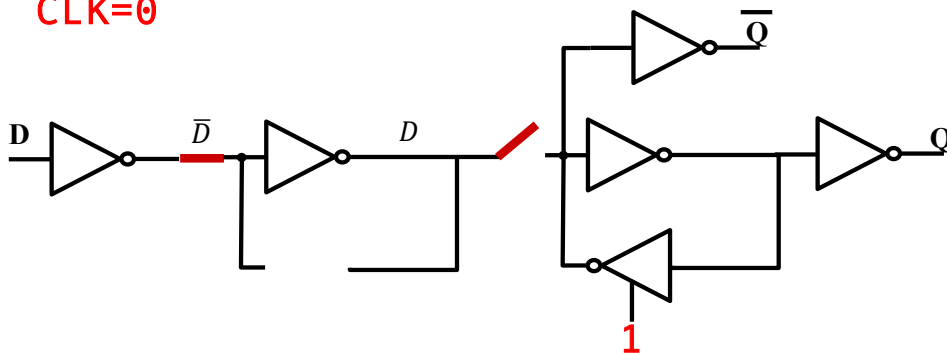
Circuito X2

Flip Flop Mestre Escravo Estático

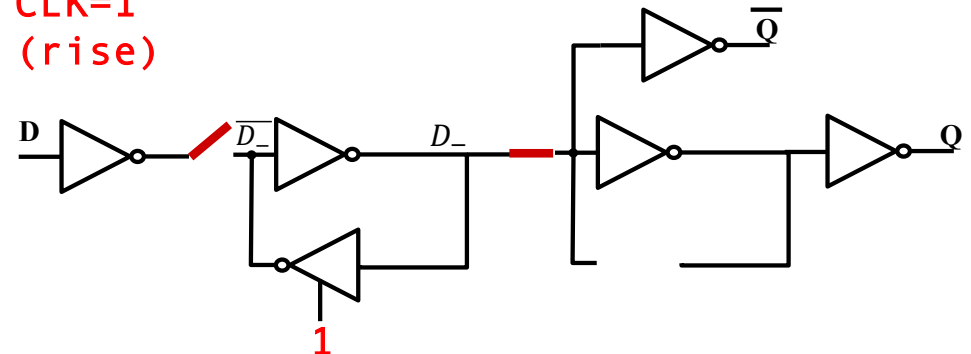
Utilizando buffer tristate



CLK=0



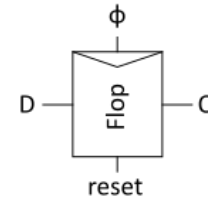
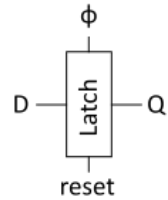
CLK=1
(rise)



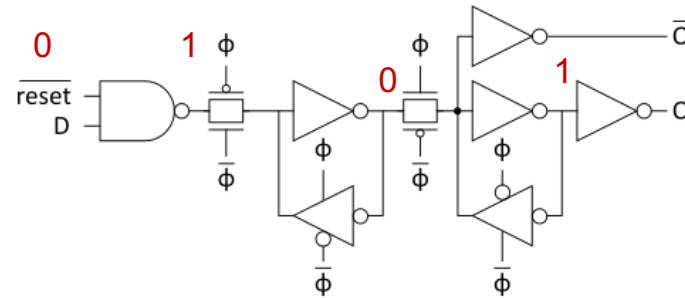
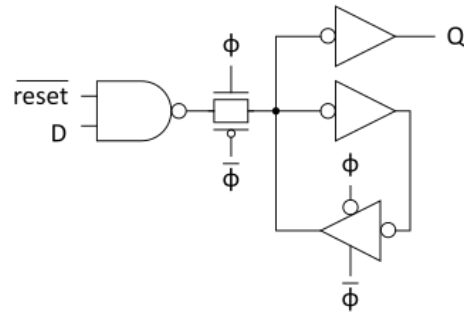
Flip Flop Mestre Escravo Estático

Reset

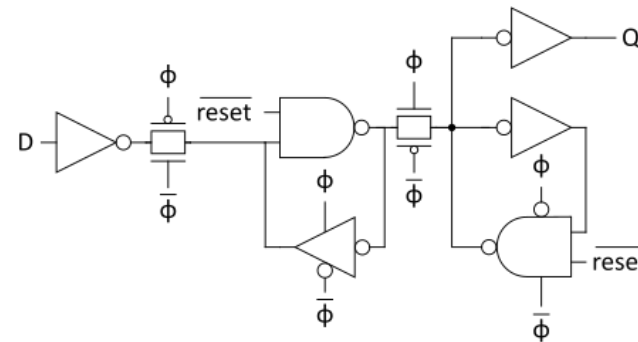
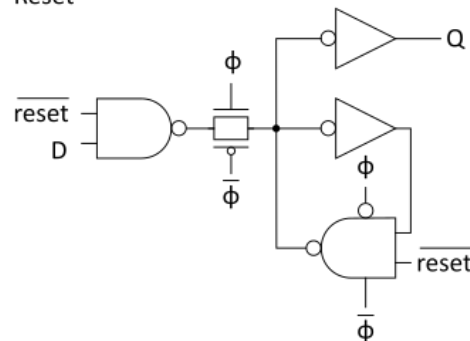
Symbol



Synchronous Reset



Asynchronous Reset



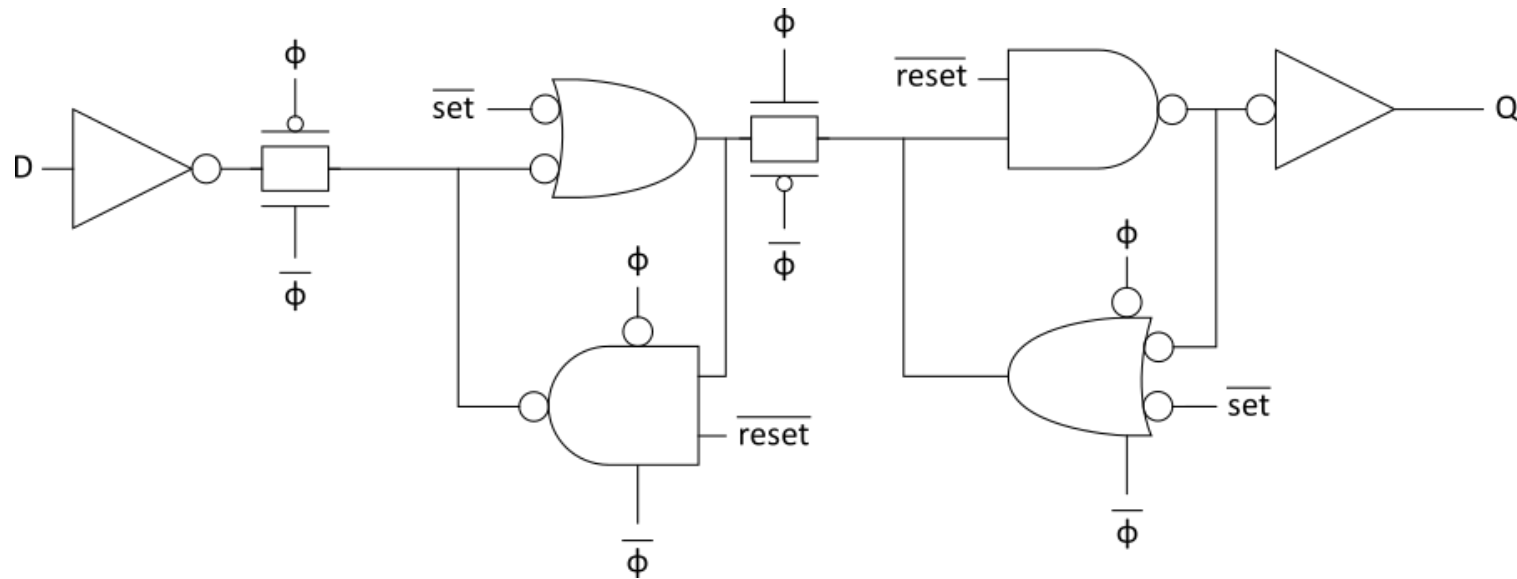
0	0	1
0	1	1
1	0	1
1	1	0

NAND

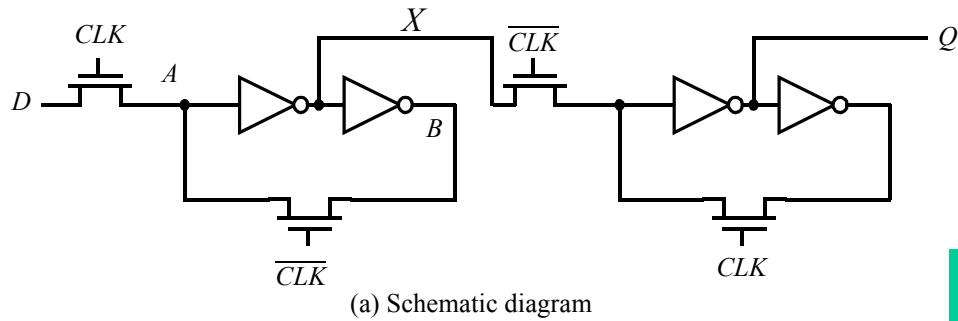
uma dada entrada em '0' saída em 1.
 uma dada entrada em '1' comporta-se como um inversor.

Flip Flop Mestre Escravo Estático

Flip-flop com set/reset assíncrono



Race em Mestre-Escravo



Sobreposição do sinal do relógio **pode causar**

- Sinais indefinidos na entrada e saída
- Condições de 'Race' (High por um período longo)

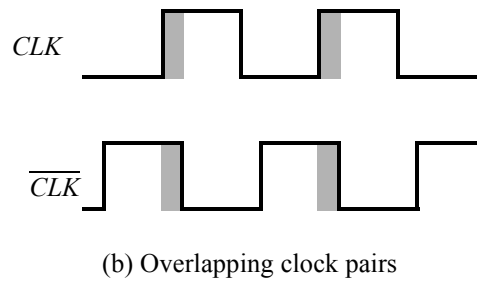


Figure 7.20 Master-slave register based on NMOS-only pass transistors.

Uma solução: clock sem sobreposição

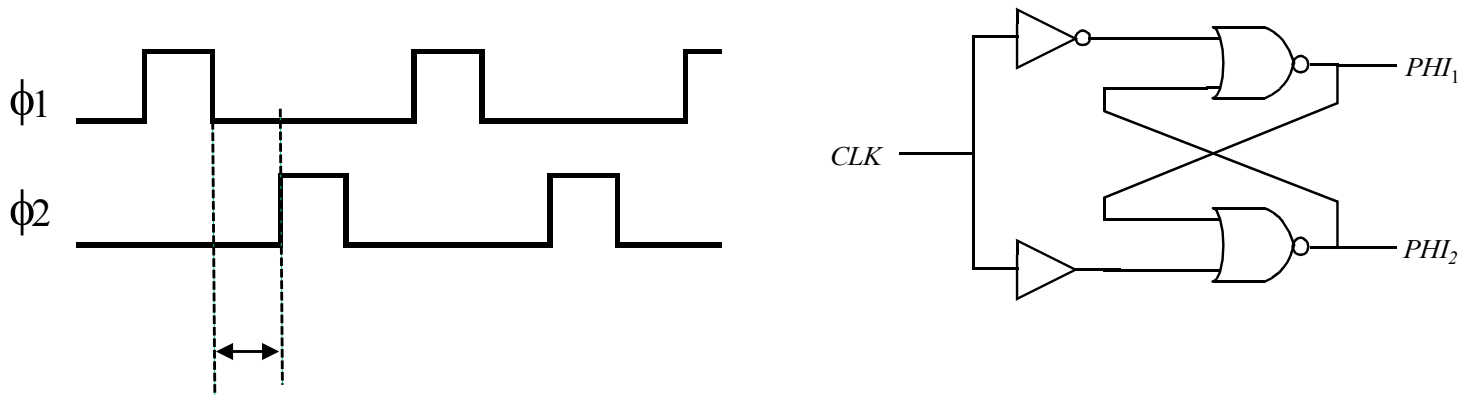
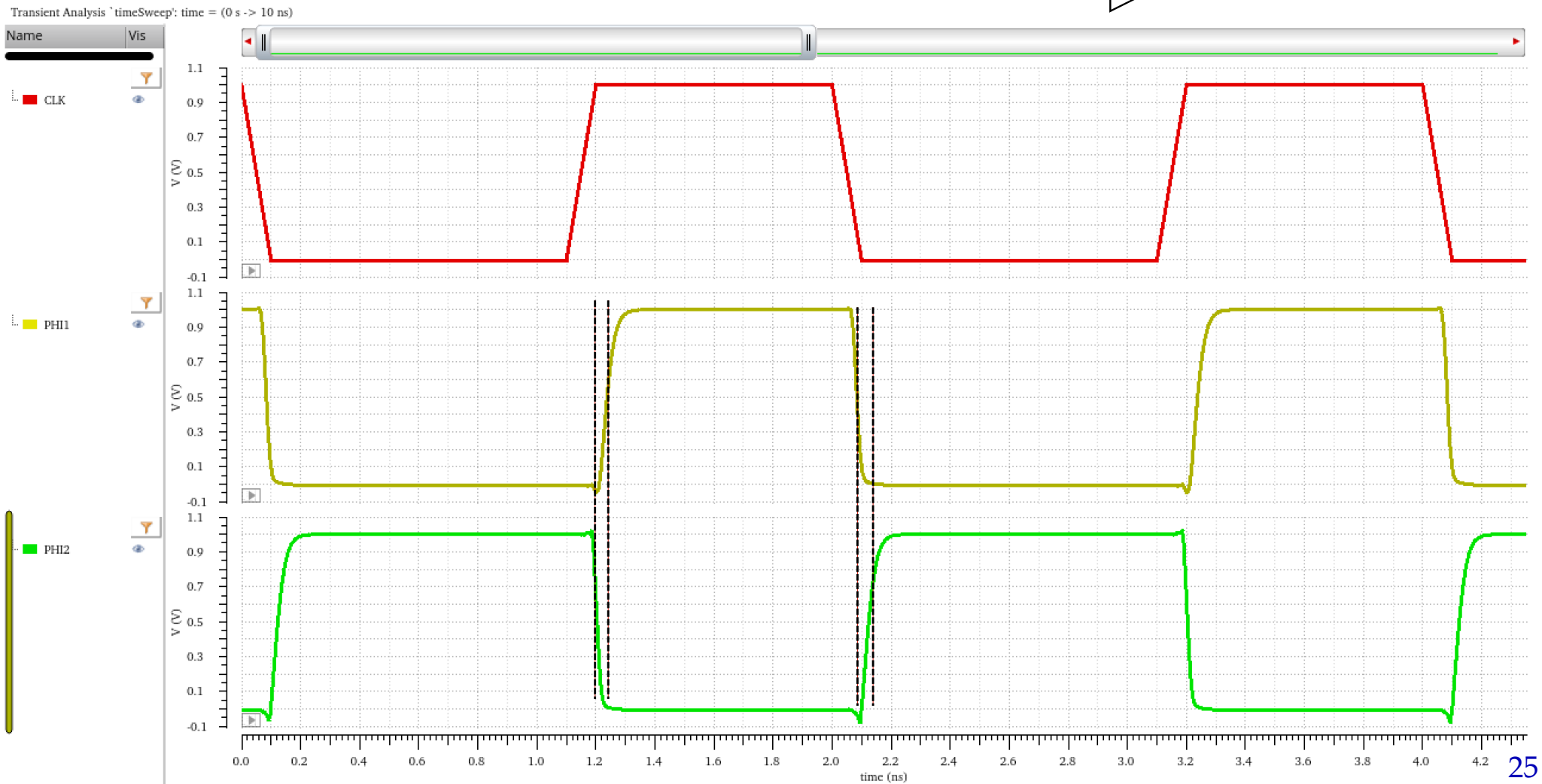
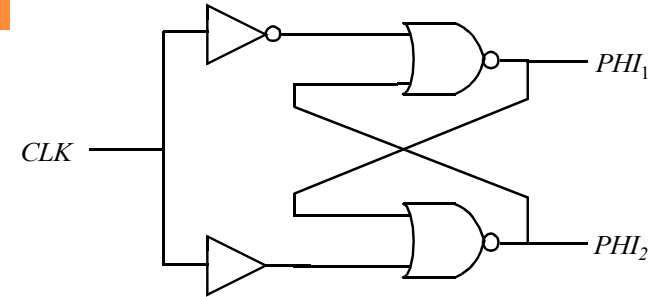


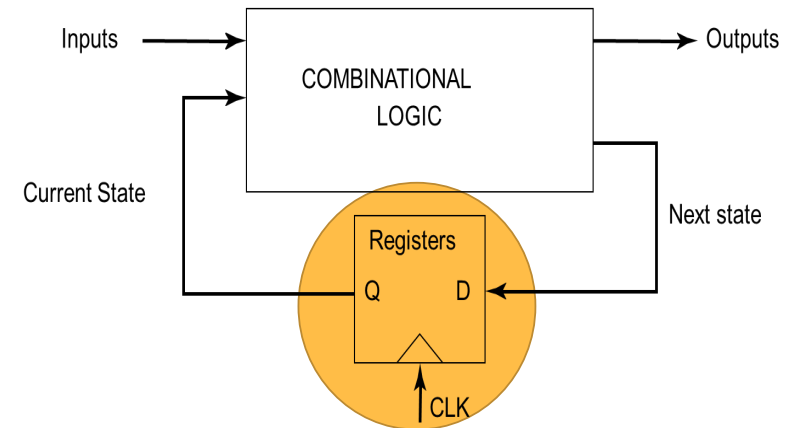
Figure 7.22 Circuitry for generating a two-phase non-overlapping clock.

Fases não sobrepostas



Conceitos de temporização

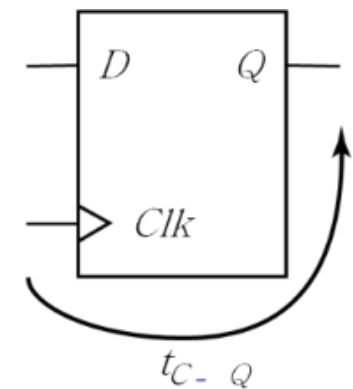
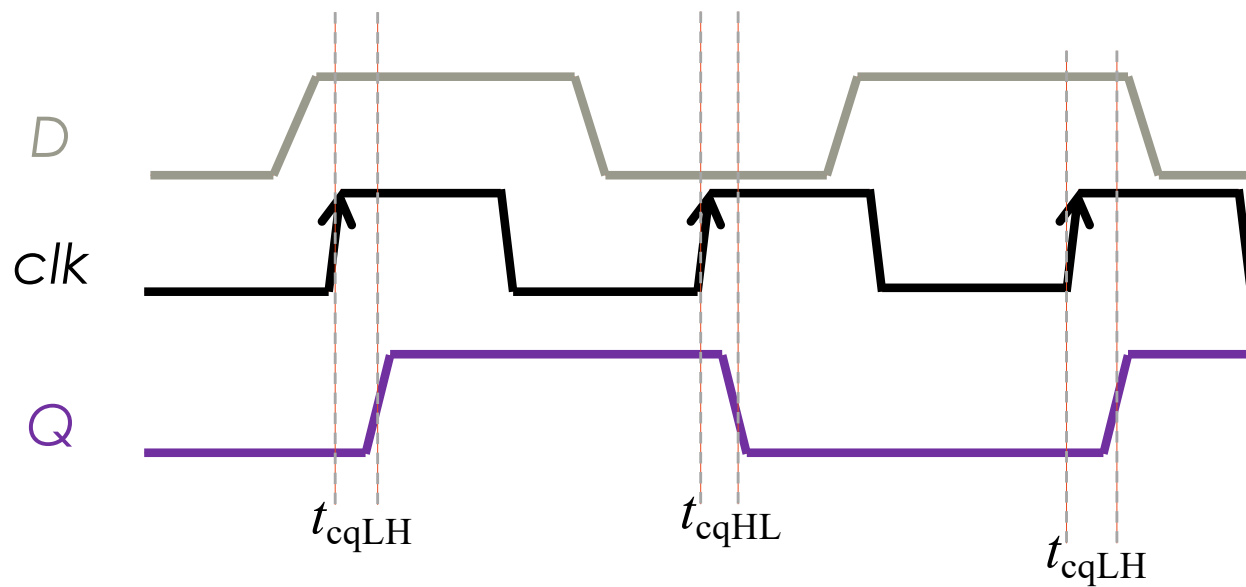
- A maioria dos projetos digitais são síncronos e construídos com elementos sequenciais
 - o projeto síncrono elimina condições de corrida
 - a técnica de **pipeline** aumenta a vazão



- Assumiremos que todos os elementos sequenciais são sensíveis à **borda**, utilizando flip-flops tipo D como registradores
- Os flip-flops tipo D possuem três parâmetros de temporização críticos:
 - t_{cq} – tempo de *clock* para saída: atraso de propagação
 - t_{setup} – tempo que os dados precisam chegar **antes** do clock
 - t_{hold} – tempo que os dados precisam permanecer estáveis após o **clock**

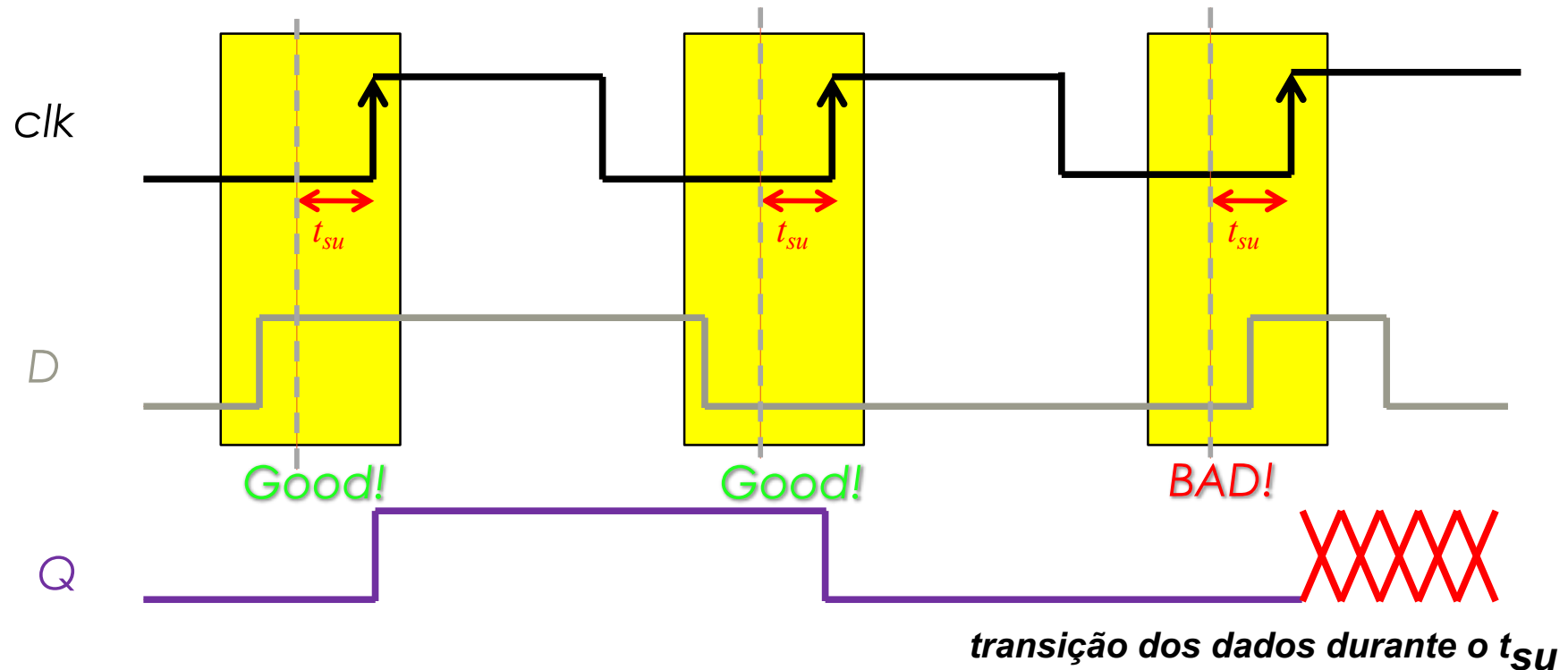
Parâmetro t_{cq}

- t_{cq} é o tempo desde a borda do clock até os dados aparecerem na saída
- t_{cq} possui tempos de propagação de subida e descida diferente



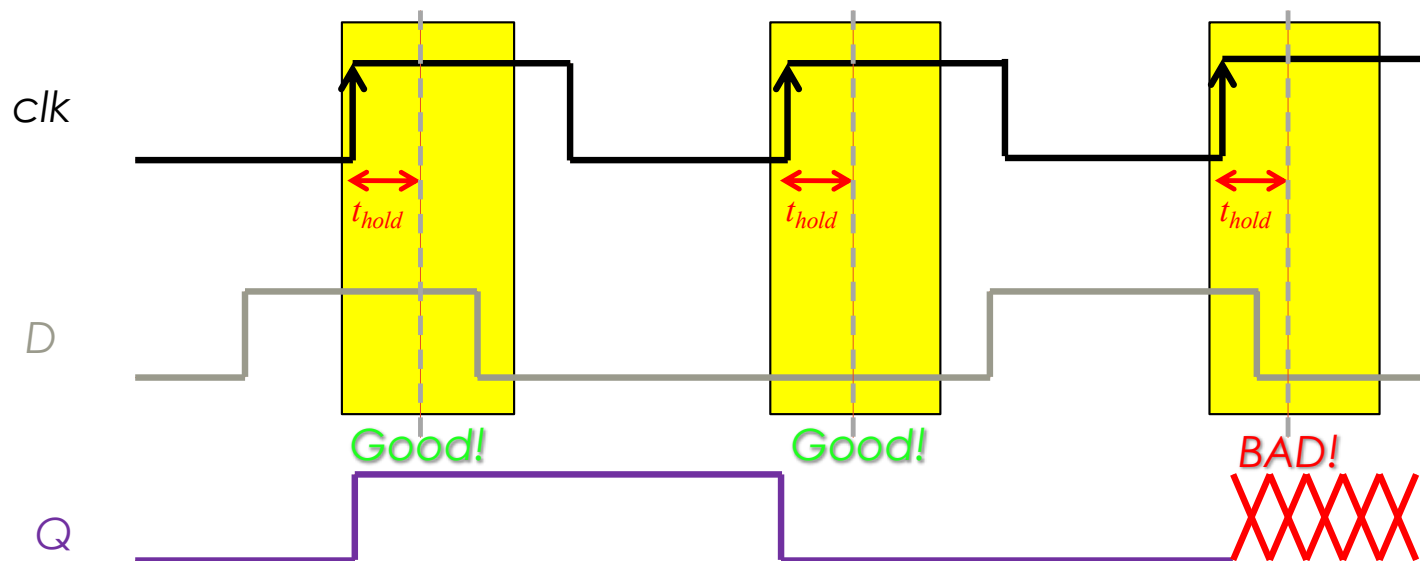
Parâmetro t_{setup}

- t_{setup} (setup time) é o tempo que os dados precisam chegar **antes** da borda de clock para garantir uma amostragem correta



Parâmetro t_{hold}

- t_{hold} (hold time) é o tempo que os dados precisam permanecer estáveis após o clock para garantir uma amostragem correta
- t_{hold} muito afetado por estágios muito rápidos e *skew* do clock



transição dos dados durante o t_{hold}

Unindo os conceitos

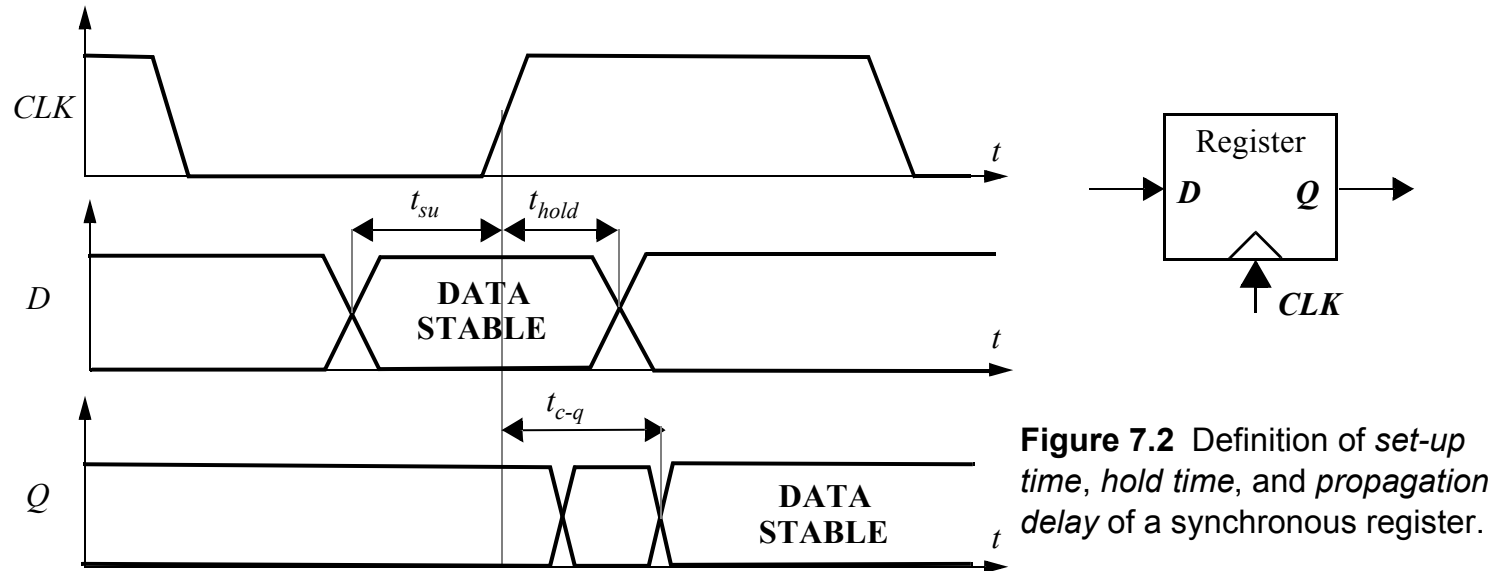
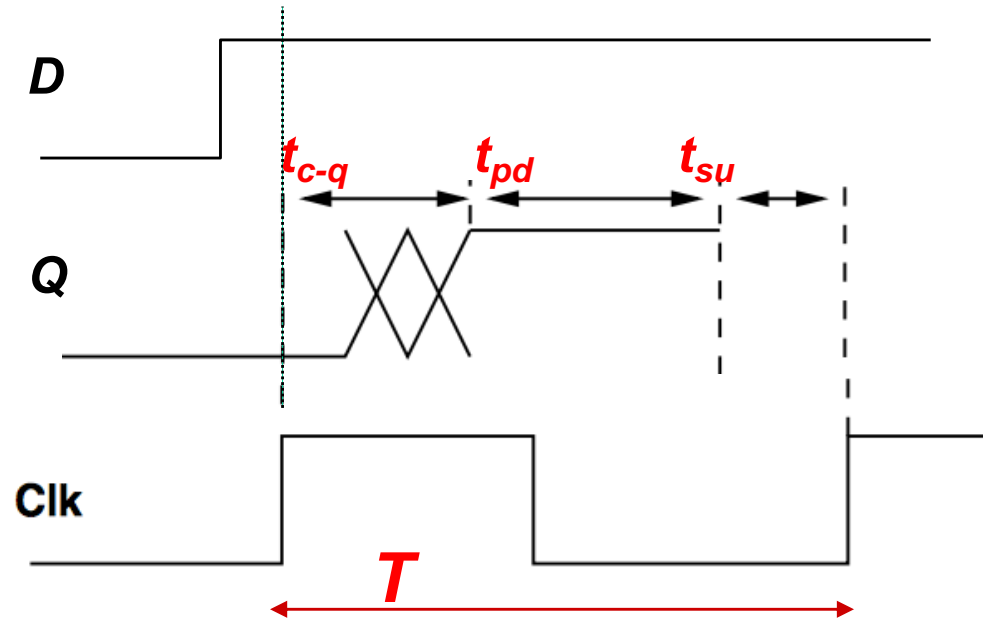


Figure 7.2 Definition of set-up time, hold time, and propagation delay of a synchronous register.

- Tempo de **set-up** (t_{su}): tempo que as entradas de dados (D) devem ser válidas antes da transição do relógio (0→1 para um registrador disparado por borda positiva)
- O tempo de **hold** (t_{hold}): tempo que a entrada de dados deve permanecer válida após a transição do clock
- Atraso do registrador (t_{c-q}): supondo que t_{su} e t_{hold} sejam atendidos, os dados na entrada D são copiados para a saída Q após t_{c-q}

Máxima Frequência de Clock

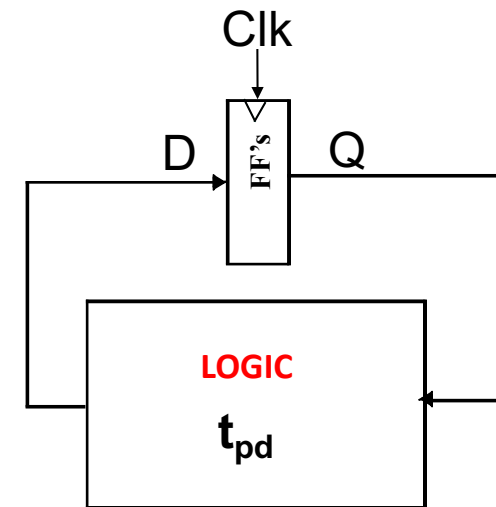


$$T \geq t_{cq} + t_{pd} + t_{su}$$

t_{cq} : tempo de propagação do flip-flop

t_{pd} : tempo de propagação da lógica combinacional

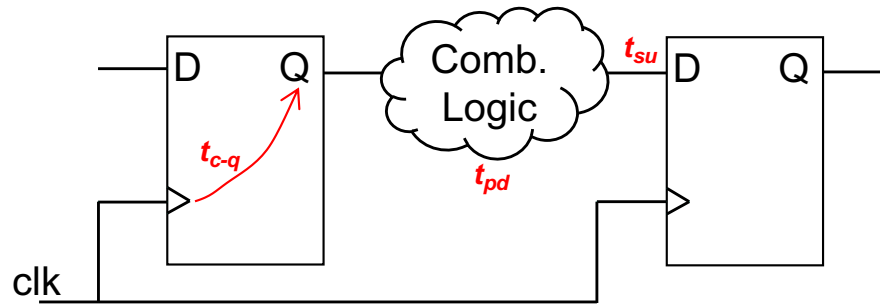
t_{su} : tempo de setup do flip-flop



Slack time

- Slack Time é o tempo disponível entre o momento em que um evento é requerido e o momento em que ele ocorre
- No contexto de projeto digital, representa a **margem de segurança** entre os atrasos reais de sinal e os atrasos máximos permitidos para cumprir os requisitos de temporização
- **Slack positivo**: significa que o projeto tem tempo suficiente para o sinal atingir o próximo registrador, indicando que as restrições de temporização foram cumpridas
- **Slack negativo**: indica que o sinal não consegue atingir o próximo registrador dentro do tempo requerido, resultando em falhas de temporização. Isso pode ocorrer devido a:
 - Atrasos excessivos em lógica combinacional
 - Ciclos de clock muito curtos
 - Falta de otimização no projeto

Exemplo



(1) Determina o tempo de *slack*

$$t_{c-q} = 200 \text{ ps}$$

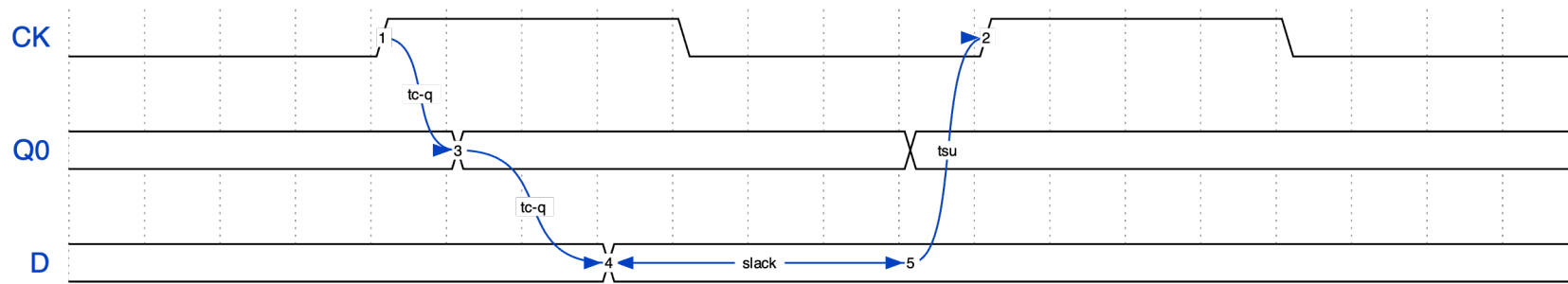
$$t_{su} = 100 \text{ ps}$$

$$t_{pd} = 300 \text{ ps}$$

$$T = 1000 \text{ ps}$$

(2) Qual o período mínimo?

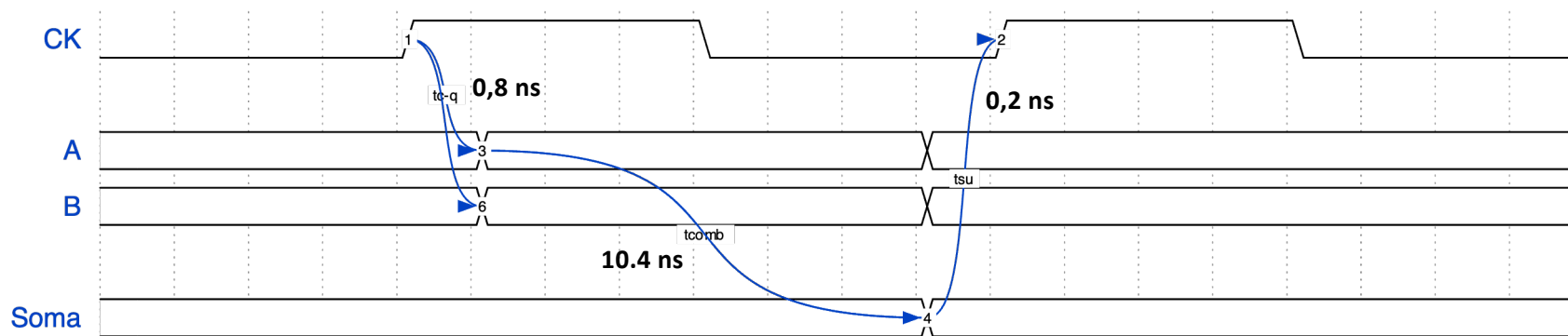
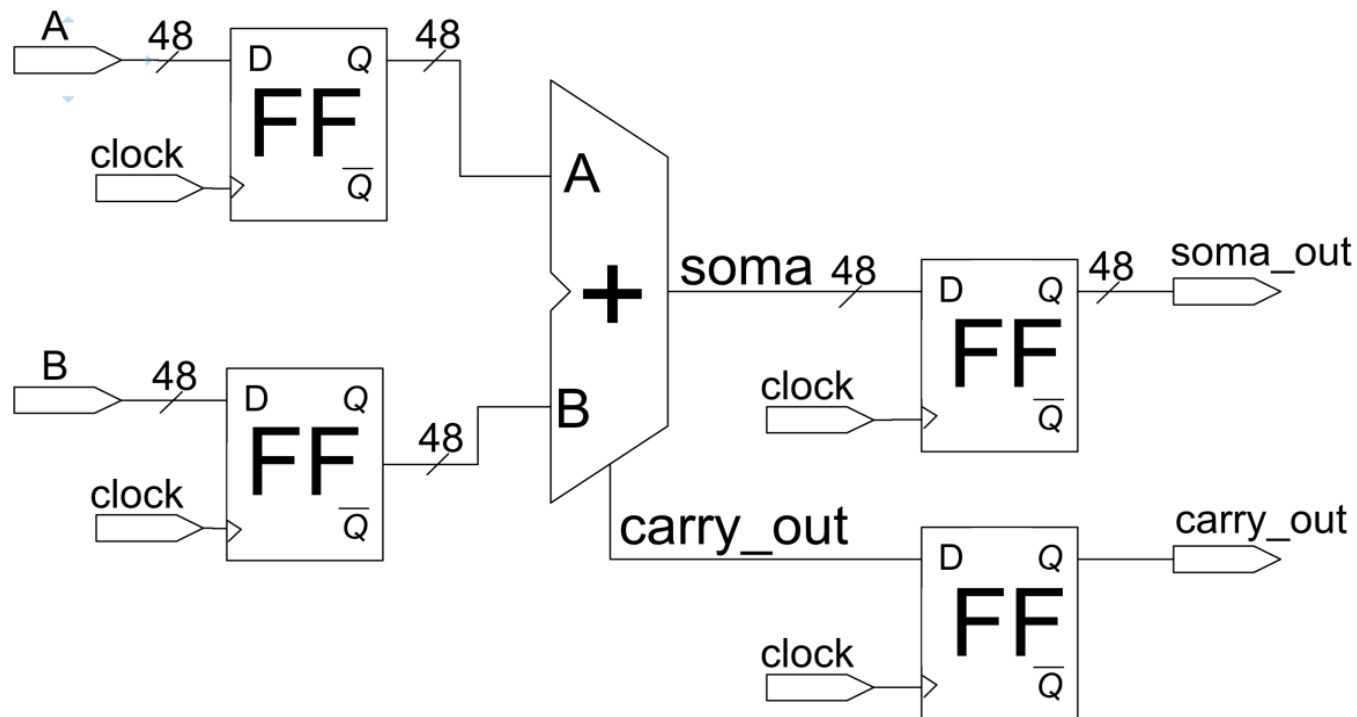
$$T_{min} = 600 \text{ ps}$$



$$t_{slack} = 1000 - 600 = 400 \text{ ps}$$

- Considere o circuito abaixo, composto por 2 entradas de 48 bits (A e B), e duas saídas (*soma_out* de 48 bits, e *carry_out*).
 - Os flip-flops (FFs – mestre-escravo, sensíveis à borda de subida) possuem um tempo de propagação C→Q igual a 0,8 ns e o tempo de setup igual a 0,2 ns.
 - Um somador tem tempo de propagação igual a 10,4 ns

Determine a frequência máxima de operação do circuito.



Relatório de síntese - exemplo

@genus:root: 15> **report timing**

Path 1: MET (544 ps) Setup Check with Pin EA_reg[1]/CP->D

Group: Bus2IP_Clkv - **2000 ps**

Startpoint: (R) address_reg[2]/CP

Clock: (R) Bus2IP_Clk

Endpoint: (R) EA_reg[1]/D

Clock: (R) Bus2IP_Clk

...

Setup:- 72

Required Time:= 1928

Launch Clock:- 0

Data Path:- 1383

Slack:= 544

#	Timing Point	Flags	Arc	Edge	Cell	Fanout	Load (fF)	Trans (ps)	Delay (ps)	Arrival (ps)	Instance Location
#	address_reg[2]/CP	-	-	R	(arrival)	116	-	0	-	0	(-, -)
#	address_reg[2]/Q	-	CP->Q	R	HS65_GS_DFPRQX9	20	72.0	165	133	133	(-, -)
#	g21671/Z	-	A->Z	F	HS65_GS_IVX9	19	70.0	118	122	255	(-, -)
	g21598/Z	-	A->Z	F	HS65_GS_AND2X4	10	42.3	107	128	383	(-, -)
	g21539/Z	-	B->Z	R	HS65_GS_NAND2X7	7	24.8	78	77	460	(-, -)
	g21301/Z	-	B->Z	F	HS65_GS_CBI4I6X5	1	5.8	44	41	502	(-, -)
	g21245/Z	-	E->Z	R	HS65_GS_AOI311X4	1	4.5	60	48	550	(-, -)
	g21168/Z	-	B->Z	R	HS65_GS_NOR4ABX2	1	6.1	113	102	652	(-, -)
	g21037/Z	-	B->Z	F	HS65_GS_OAI212X5	1	5.2	59	50	701	(-, -)
	g21027/Z	-	D->Z	R	HS65_GS_NOR4ABX2	1	4.8	98	75	776	(-, -)
	g21012/Z	-	B->Z	R	HS65_GS_AND2X4	12	58.3	260	181	958	(-, -)
	g20979/Z	-	B->Z	F	HS65_GSS_XOR2X6	1	6.1	68	127	1084	(-, -)
	g20956/Z	-	E->Z	R	HS65_GS_OAI212X5	1	5.8	68	40	1125	(-, -)
	g20946/Z	-	E->Z	F	HS65_GS_AOI212X4	1	4.5	56	37	1162	(-, -)
	g20938/Z	-	B->Z	F	HS65_GS_NOR4ABX2	1	4.8	39	60	1222	(-, -)
	g20927/Z	-	B->Z	R	HS65_GS_AOI12X2	1	4.5	84	60	1282	(-, -)
	g20922/Z	-	B->Z	R	HS65_GS_NOR4ABX2	1	5.0	98	101	1383	(-, -)
#	EA_reg[1]/D	<<<	-	R	HS65_GS_DFPRQX9	1	-	-	0	1383	(-, -)

LIB file – setup and hold

```
...
timing(){
  intrinsic_fall : 0.075;
  intrinsic_rise : 0.055;
  related_pin : "CP";
  sdf_edges : "both_edges";
  timing_label : "D_CP_SETUP";
  timing_type : setup_rising;
  fall_constraint(table_44){
    values("0.075000, 0.115000, 0.155000",\
           "0.040000, 0.080000, 0.125000",\
           "0.020000, 0.060000, 0.100000");
  }
  rise_constraint(table_44){
    values("0.055010, 0.095010, 0.125010",\
           "0.040010, 0.075010, 0.105010",\
           "0.030010, 0.070010, 0.095010");
  }
}
}
```

intrinsic_fall : 0.075;

Este parâmetro define o atraso intrínseco (independente da carga) para transições de **fall** (queda) no pino monitorado, medido em nanosegundos

intrinsic_rise : 0.055;

Define o atraso intrínseco para transições de **rise** (subida) no pino monitorado, também em nanosegundos.

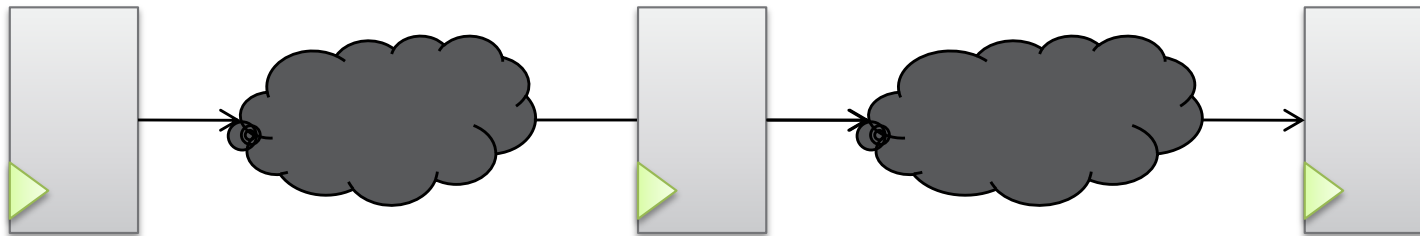
tabela: fast/typical/worst para diferentes rampas

```
timing(){
  intrinsic_fall : -0.04;
  intrinsic_rise : -0.035;
  related_pin : "CP";
  sdf_edges : "both_edges";
  timing_label : "D_CP_HOLD";
  timing_type : hold_rising;
  fall_constraint(table_43){
    values("-0.040000, -0.015000, 0.000000",\
           "-0.080000, -0.060000, -0.040000",\
           "-0.120000, -0.095000, -0.075000");
  }
  rise_constraint(table_43){
    values("-0.034990, -0.019990, -0.014990",\
           "-0.074990, -0.059990, -0.054990",\
           "-0.104990, -0.089990, -0.079990");
  }
}
}
```

Problemas de atraso entre registradores

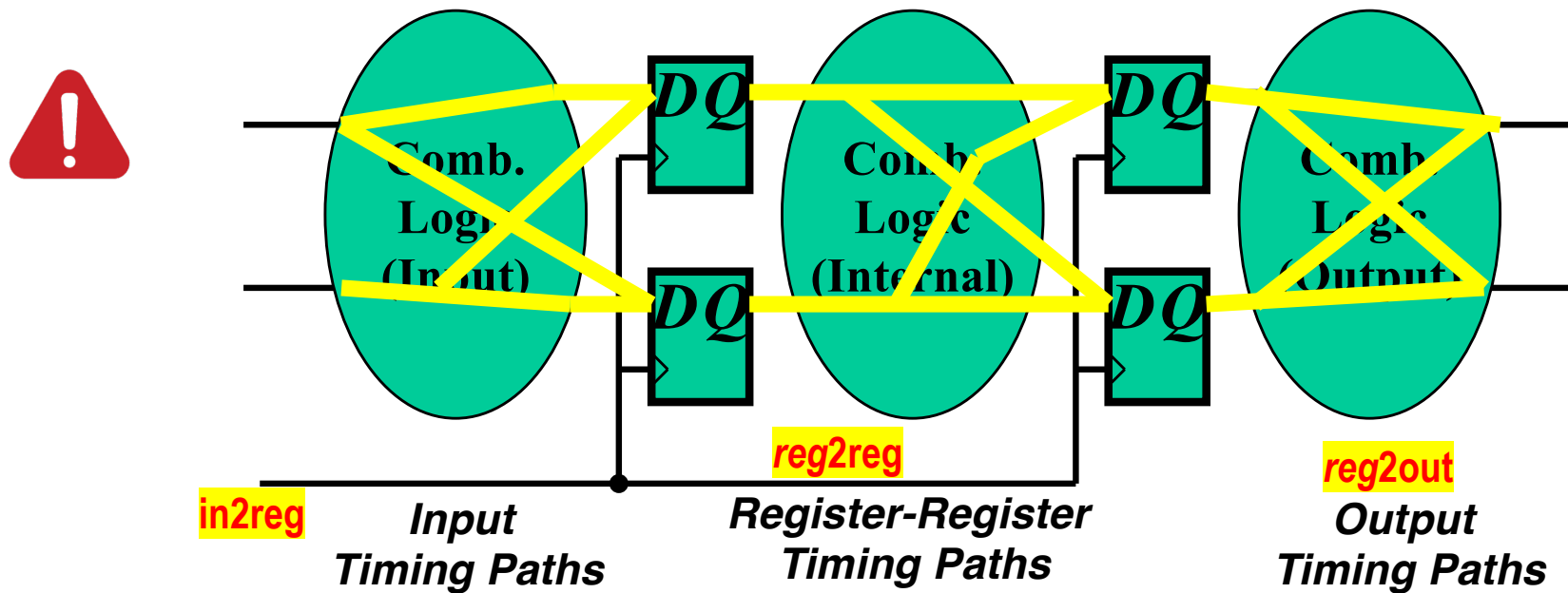
Existem dois problemas principais que podem surgir na lógica síncrona:

- Atraso Máximo (**Max Delay**): Os dados não têm tempo suficiente para passar de um registrador ao próximo antes da próxima borda do clock
 - As violações **Max Delay** são resultado de um caminho de dados lento, incluindo o t_{setup} dos registradores
- Atraso Mínimo (**Min Delay**): lógica combinacional muito rápida
 - As violações **Min Delay** são resultado de um caminho de dados rápido, fazendo com que os dados mudem antes de o **thold** ser atingido

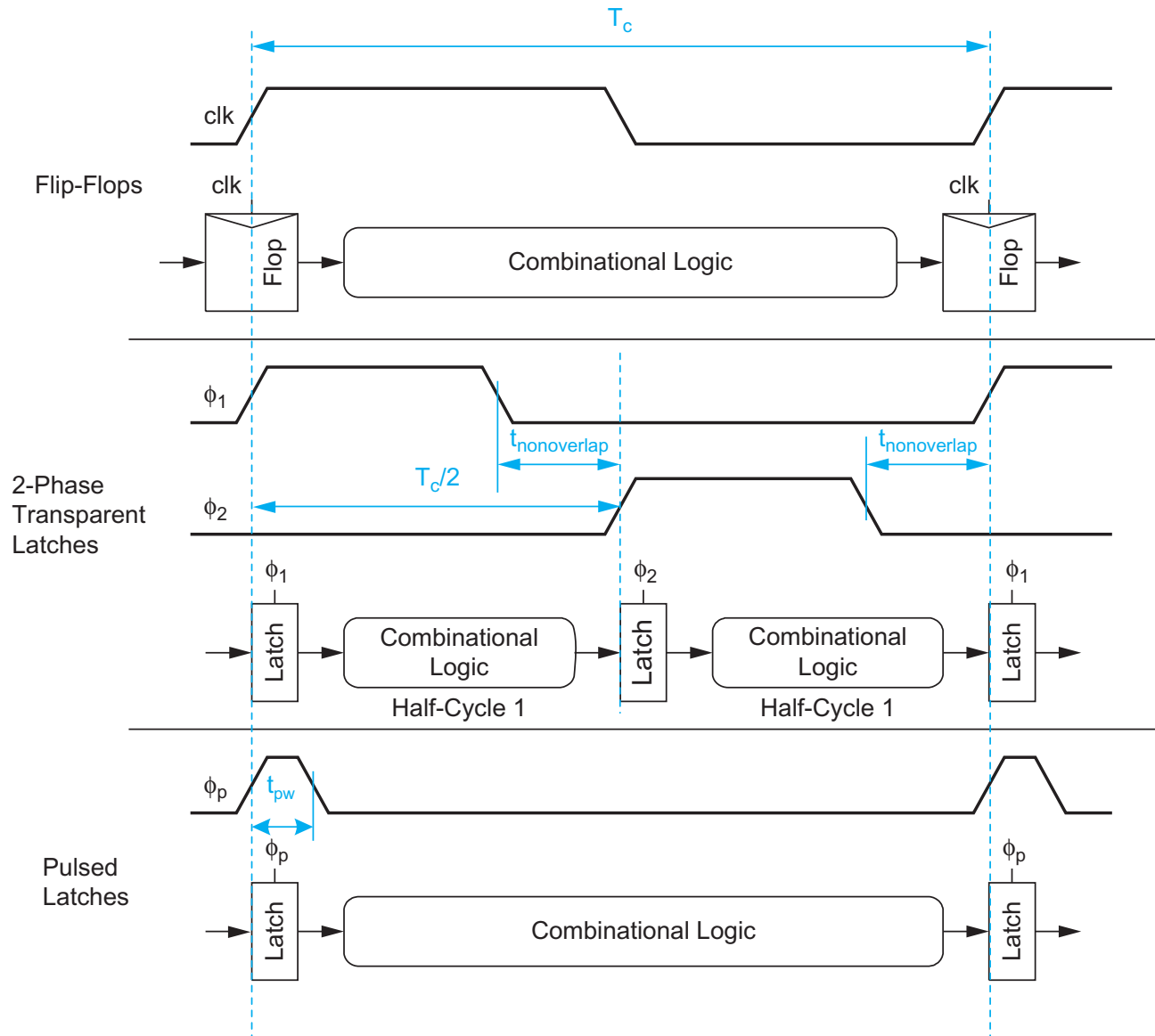


Restrições em Projeto Digital

- Assume-se um sistema síncrono baseado em clock
- Restrições de tempo entre os registradores (**período**)
- Restrições de tempo especificadas pelo usuário em entradas e saídas



Métodos de sincronização



MS

Latch-based design

Latch
“pulsadas”
(glitch)

FIGURE 10.2 Static sequencing methods